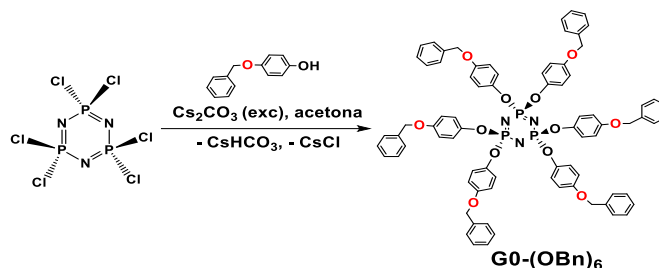
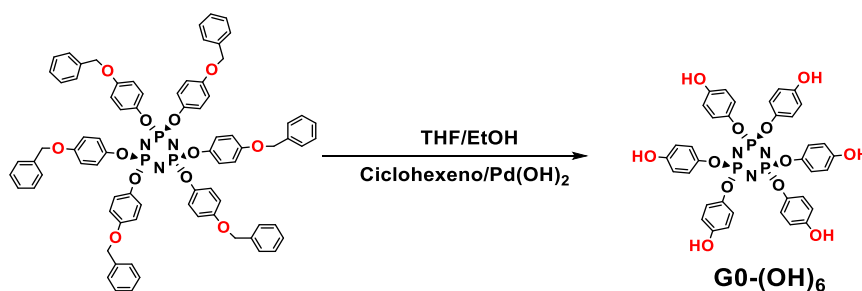


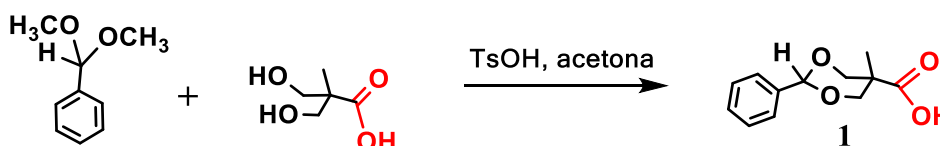
V.I. ANEXO 1: DATOS DE CARACTERIZACIÓN DE TODOS LOS COMPUESTOS PREPARADOS.

 $\text{N}_3\text{P}_3(\text{OC}_6\text{H}_4\{\text{OCH}_2\text{Ph}\}-4)_6$; $\text{G0}-(\text{OBn})_6$ ^[1]

$\text{C}_{78}\text{H}_{66}\text{O}_{12}\text{N}_3\text{P}_3$ (1330.29 g/mol). IR (ATR): 1215 (m) 1177, 1164 (s, br) $\nu(\text{PN})$; 1102 (m) $\nu(\text{P-OC})$; 949 cm^{-1} (s) $\delta(\text{POC})$. $^{31}\text{P}\{^1\text{H}\}$ RMN (400 MHz, CDCl_3) δ 10.07 ppm (s, 3P; anillo N_3P_3). $^{31}\text{P}\{^1\text{H}\}$ RMN (400 MHz, $(\text{CD}_3)_2\text{CO}$) δ 10.10 ppm (s, 3P; anillo N_3P_3). ^1H RMN (400 MHz, CDCl_3) δ 7.38 – 7.29 (m, 5H; C_6H_5), 6.84 (“d”) y 6.76 (“d”) (Sistema de espin AA’BB’, $^3J(\text{H},\text{H}) = 9$ Hz, 4H; $\text{OC}_6\text{H}_4\text{O}$), 4.96 ppm (s, 2H; OCH_2). ^1H RMN (400 MHz, $(\text{CD}_3)_2\text{CO}$) δ 7.45 – 7.42 (m, 2H; C_6H_5), 7.36 – 7.30 (m, 3H; C_6H_5), 6.88 y 6.86 (Sistema de espin AA’BB’, $^3J(\text{H},\text{H}) = 9.8$ Hz, 4H; $\text{OC}_6\text{H}_4\text{O}$), 5.07 ppm (s, 2H; OCH_2).

 $\text{N}_3\text{P}_3(\text{OC}_6\text{H}_4\{\text{OH}\}-4)_6$; $\text{G0}-(\text{OH})_6$ ^[1]

$\text{C}_{36}\text{H}_{30}\text{O}_{12}\text{N}_3\text{P}_3$ (789.56 g/mol). IR (ATR): 3252 (m, br) $\nu(\text{OH})$; 1221 (m), 1164 (s, br) $\nu(\text{PN})$; 1096 (s) $\nu(\text{P-OC})$; 947 cm^{-1} (s) $\delta(\text{POC})$. $^{31}\text{P}\{^1\text{H}\}$ RMN (400 MHz, $(\text{CD}_3)_2\text{CO}$) δ 10.34 (s, 3P; anillo N_3P_3). ^1H RMN (400 MHz, $(\text{CD}_3)_2\text{CO}$) δ 8.31 (s, 1H; $\text{OC}_6\text{H}_4\text{OH}$), 6.74 y 6.71 (m, sistema de espin AA’BB’, $^3J(\text{H},\text{H}) = 9.8$ Hz, 4H; $\text{OC}_6\text{H}_4\text{OH}$)

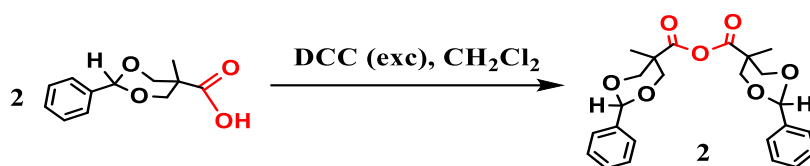
Ácido 2-fenil-5-metil-1,3-dioxan-5-carboxílico (1): ^[2]

$\text{C}_{12}\text{H}_{14}\text{O}_4$ (222.24 g/mol). IR (ATR): 1693 (vs) cm^{-1} (C=O). ^1H RMN (400 MHz, $(\text{CD}_3)_2\text{CO}$) δ 7.44 – 7.42 (m, 2H; C_6H_5), 7.35 – 7.31 (m, 3H; C_6H_5), 5.52 (s, 1H; CHPh), 4.57 (d, $^2J(\text{H},\text{H}) = 11.4$ Hz, 2H; OCH_2), 3.74 (d, $^2J(\text{H},\text{H}) = 11.4$ Hz, 2H; OCH_2), 1.05 ppm (s, 3H; CH_3). ^1H RMN (400 MHz, CDCl_3) δ 7.48 – 7.46 (m, 2H; C_6H_5), δ 7.38 – 7.31 (m, 3H; C_6H_5), 5.49 (s, 1H; CHPh), 4.63 (d, $^2J(\text{H},\text{H}) = 11.6$ Hz, 2H; OCH_2), 3.70 (d, $J = 11.6$ Hz, 2H; OCH_2), 1.11 ppm (s, 3H; CH_3).

[1] J. Barberá, M. Bardají, J. Jiménez, A. Laguna, M.P. Martínez, L. Oriol, J.L. Serrano, I. Zaragoza, Columnar Mesomorphic Organizations in Cyclotriphosphazenes. *J. Am. Chem. Soc.*, **2005**, *127*, 8994 - 9002.

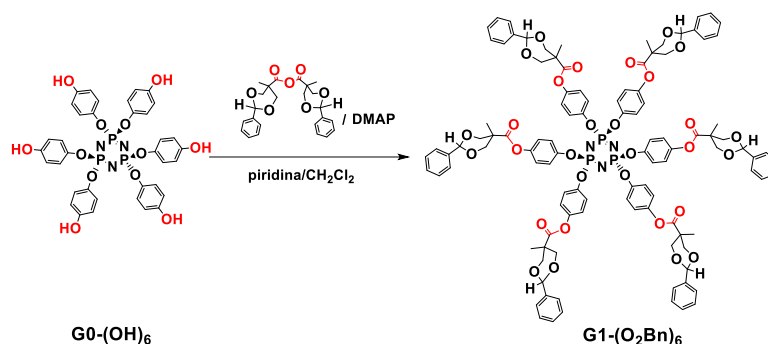
[2] H. Ihre, O.L. Padilla De Jesús, J.M.J. Fréchet, Fast and Convenient Divergent Synthesis of Aliphatic Ester Dendrimers by Anhydride Coupling. *J. Am. Chem. Soc.*, **2001**, *123*, 5908-5917.

Anhídrido 2-fenil-5-metil-1,3-dioxan-5-carboxílico (2): [2]



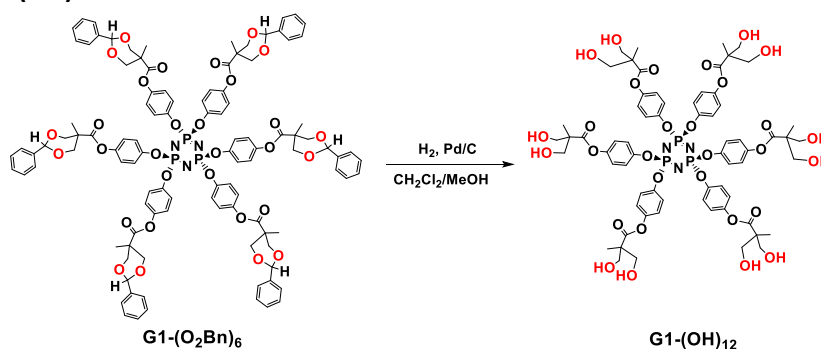
$C_{24}H_{26}O_7$ (426.46 g/mol). IR (ATR): 1814 (s), 1745 (m) cm^{-1} (C=O). 1H RMN (400 MHz, $CDCl_3$) δ 7.46 – 7.44 (m, 2H; C_6H_5), 7.35 – 7.31 (m, 3H; C_6H_5), 5.47 (s, 1H; $CHPh$), 4.66 (d, $^2J(H,H) = 11.6$ Hz, 2H; OCH_2), 3.69 (d, $^2J(H,H) = 11.6$ Hz, 2H; OCH_2), 1.12 ppm (s, 3H; CH_3).

Dendrímero G1-(O₂Bn)₆ [3]



$C_{108}H_{102}O_{30}N_3P_3$ (2014.89 g/mol). IR (ATR): 1752 (s) $\nu(CO)$; 1211 (m), 1158 (vs, br) $\nu(PN)$; 1087 (vs, br) $\nu(P-OC)$; 949 cm^{-1} (vs, br) $\delta(POC)$. $^{31}P\{^1H\}$ RMN (400 MHz, $(CD_3)_2CO$) δ 10.24 ppm (s, 3P; anillo N_3P_3). 1H RMN (400 MHz, $(CD_3)_2CO$) δ 7.47 – 7.44 (m, 2H; C_6H_5), 7.36 – 7.32 (m, 3H; C_6H_5), 7.11 (“d”) y 7.02 (“d”) (Sistema de espín AA’BB’, $^3J(H,H) = 9.0$ Hz, 4H; OC_6H_4-O), 5.57 (s, 1H; $CHPh$), 4.65 (“d”) y 3.81 (“d”) (Sistema de espín AA’BB’, $^2J(H,H) = 11.4$ Hz, 4H; OCH_2), 1.16 ppm (s, 3H; CH_3).

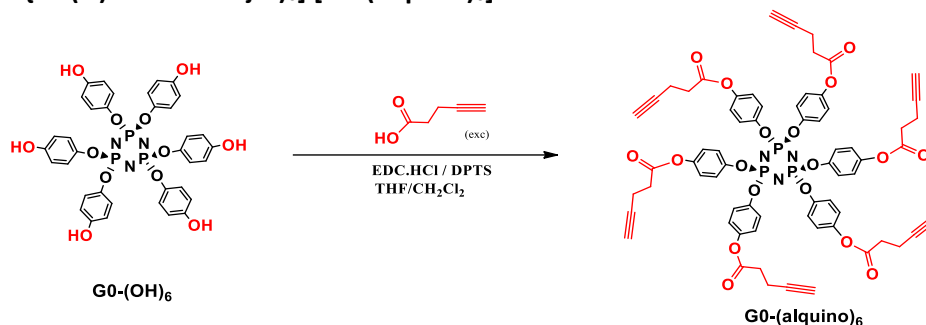
Dendrímero G1-(OH)₁₂ [3]



$C_{66}H_{78}O_{30}N_3P_3$ (1486.25 g/mol). IR (ATR): 3368 (m, br) $\nu(OH)$; 1749 (s), 1740 (s) $\nu(CO)$; 1205 (m), 1163 (s), 1147 (vs) $\nu(PN)$; 1096 (vs) $\nu(P-OC)$; 956 cm^{-1} (vs) $\delta(POC)$. $^{31}P\{^1H\}$ RMN (400 MHz, $(CD_3)_2CO$) δ 10.44 ppm (s, 3P; anillo N_3P_3). 1H RMN (400 MHz, $(CD_3)_2CO$) δ 7.08 (“d”) y 6.91 (“d”) (Sistema de espín AA’BB’, $^3J(H,H) = 8.8$ Hz, 4H; OC_6H_4-O), 4.16 (“t”, $^3J(H,H) = 4.6$ Hz, 2H; OH), 3.91 y 3.79 (sistema de espín ABX, $^2J(H,H) = 10.4$ Hz, $^3J(H,H) = 4.6$ Hz, 4H; OCH_2), 1.33 ppm (s, 3H; CH_3).

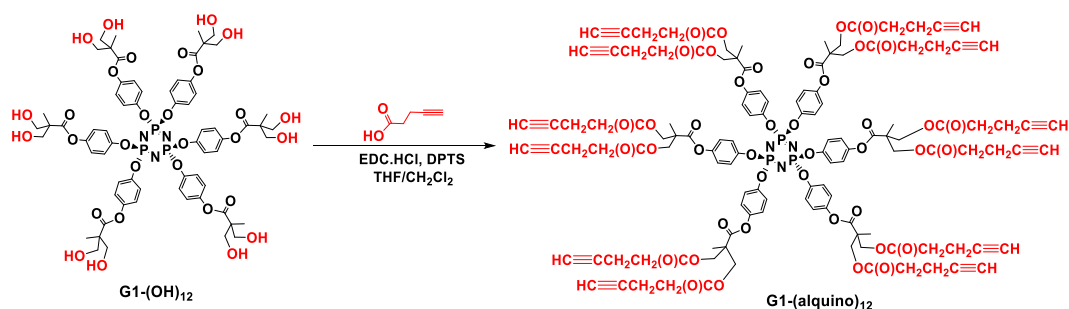
[3] J. Jiménez, A. Laguna, E. Gascón, J.A. Sanz, J.L. Serrano, J. Barberá, L. Oriol, New Liquid Crystalline Materials Base don Two Generations of Dendronised Cyclophosphazenes. *Chem. Eur. J.*, **2012**, *18*, 16801-16814.

$[N_3P_3(OC_6H_4\{OC(O)CH_2CH_2CCH\}-4)_6] [G0-(alquino)_6]$



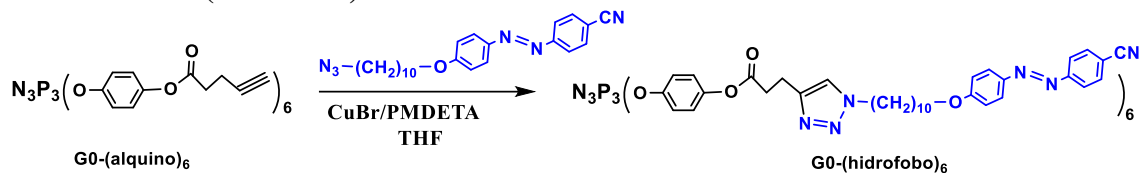
Análisis elemental calculado (%) para $C_{66}H_{54}O_{18}N_3P_3$ (1270.07 g/mol): H 4.3%, C 62.4%, N 3.3%; encontrado: H 4.6%, C 62.0%, N 3.1%. IR (ATR): 2120 (w) $\nu(C\equiv C)$; 1750 (s) $\nu(CO)$; 1205 (m), 1154 (vs), 1134 (vs) $\nu(PN)$; 1092 (s) $\nu(P-OC)$; 961 cm^{-1} (s) $\delta(POC)$. $^{31}P\{^1H\}$ RMN (400 MHz, $(CD_3)_2CO$): δ 10.19 ppm (s, 3P; anillo N_3P_3). $^{31}P\{^1H\}$ RMN (400 MHz, $CDCl_3$): δ 9.18 ppm (s, 3P; anillo N_3P_3). 1H NMR(400 MHz, $(CD_3)_2CO$) δ 7.08 (“d”), 7.00 (“d”) (Sistema de espin AA’BB’, $^3J(H,H) = 8$ Hz, 4H; OC_6H_4O), 2.85 (t, $^3J(H,H) = 7.2$ Hz, 2H; $C(O)CH_2CH_2$), 2.62 (td, $^3J(H,H) = 7.2$ Hz, $^4J(H,H) = 2.8$ Hz, 2H; $CH_2CH_2C\equiv CH$), 2.46 (t, $^4J(H,H) = 2.8$ Hz, 1H; $CH_2C\equiv CH$). 1H RMN (400 MHz, $CDCl_3$) δ 6.95 y 6.91 (m, Sistema de espin AA’BB’, $^3J(H,H) = 9.2$ Hz, 4H; OC_6H_4O), 2.81 (t, $^3J(H,H) = 7.6$ Hz, 2H; $C(O)CH_2CH_2$), 2.63 (td, $^3J(H,H) = 7.6$ Hz, $^4J(H,H) = 2.8$ Hz, 2H; $CH_2CH_2C\equiv CH$), 2.06 (t, $^4J(H,H) = 2.8$ Hz, 1H; $CH_2C\equiv CH$). MALDI-TOF (dithranol): m/z (%) = 1270.2 (100) $[M+H]^+$.

Dendrímtero G1-(alquino)₁₂



Análisis elemental calculado (%) para $C_{126}H_{126}O_{42}N_3P_3$ (2447.27 g/mol): H 5.2%, C 61.8%, N 1.7%; encontrado: H 5.4%, C 61.3%, N 1.8%. IR (ATR): 2119 (vw) $\nu(C\equiv C)$; 1736 (s) $\nu(CO)$; 1205 (m), 1152 (vs) $\nu(PN)$; 1109 (vs) $\nu(P-OC)$; 951 cm^{-1} (s) $\delta(POC)$. $^{31}P\{^1H\}$ RMN ($CDCl_3$) $\delta = 8.75$ ppm (s, 3P; anillo N_3P_3). $^{31}P\{^1H\}$ RMN ($CD_3)_2CO$) $\delta = 9.96$ ppm (s, 3P; anillo N_3P_3). 1H RMN ($CDCl_3$) $\delta = 6.97$ (m, sistema AA’BB’, 4H; OC_6H_4O), 4.43 y 4.38 (m, sistema de espin AA’BB’, $^2J(H,H) = 11.2$ Hz, 4H; $C-CH_2OC(O)$), 2.57 (“t”, $^3J(H,H) = 6.8$ Hz, 4H; $C(O)CH_2CH_2$), 2.48 (“td”, $^3J(H,H) = 6.8$ Hz, $^4J(H,H) = 2.4$ Hz, 4H; $CH_2C\equiv CH$), 1.97 ppm (t, $^4J(H,H) = 2.4$ Hz, 2H; $CH_2C\equiv CH$), 1.42 ppm (s, 3H; $C(CH_3)$). 1H RMN ($(CD_3)_2CO$) $\delta = 7.14$ (“d”) y 7.03 (“d”) (Sistema AA’BB’, $^3J(H,H) = 9.0$ Hz, 4H; OC_6H_4O), 4.45 (m, sistema AA’BB’, 4H; $C-CH_2OC(O)$), 2.62 (“t”, $^3J(H,H) = 7.0$ Hz, 4H; $C(O)CH_2CH_2$), 2.48 (“td”, $^3J(H,H) = 7.0$ Hz, $^4J(H,H) = 2.8$ Hz, 4H; $CH_2C\equiv CH$), 2.36 ppm (t, $^4J(H,H) = 2.8$ Hz, 2H; $CH_2C\equiv CH$), 1.48 ppm (s, 3H; $C(CH_3)$). MALDI-TOF (dithranol): m/z (%) = 2447.4 (100) $[M]^+$.

Fosfazeno G0-(hidrofobo)₆

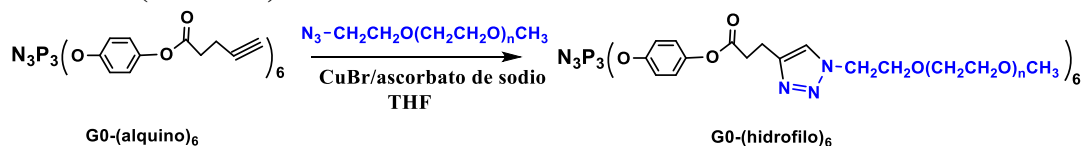


Análisis elemental calculado (%) para $\text{C}_{204}\text{H}_{222}\text{O}_{24}\text{N}_{39}\text{P}_3$ (3697.12 g/mol): H 6.0%, C 66.3%, N 14.8%. IR (ATR): 2225 (w) $\nu(\text{C}\equiv\text{N})$, 1752 (m) $\nu(\text{C}=\text{O})$, 1599 (m) 1582 (m) $\nu(\text{C}=\text{C} + \text{N}=\text{N})$ 1167 (vs) 1136 (vs) $\nu(\text{PN})$; 1052 (vs) $\nu(\text{P-OC})$; 954 cm^{-1} (m) $\delta(\text{POC})$. $^{31}\text{P}\{^1\text{H}\}$ RMN (CDCl_3) $\delta = 9.15$ ppm (s, 3P; anillo N_3P_3). ^1H RMN (CDCl_3) $\delta = 7.92$ ("d", $^3\text{J}(\text{H,H}) = 8.4$ Hz, 4H; $\text{OC}_6\text{H}_4\text{N}=\text{NC}_6\text{H}_4\text{CN}$), 7.77 ("d", $^3\text{J}(\text{H,H}) = 8.4$ Hz, 2H; $\text{OC}_6\text{H}_4\text{N}=\text{NC}_6\text{H}_4\text{CN}$), 7.41 (s, 1H; $\text{C}=\text{C}(\text{H})\text{N}$), 6.99 ("d", $^3\text{J}(\text{H,H}) = 8.4$ Hz, 2H; $\text{OC}_6\text{H}_4\text{N}=\text{NC}_6\text{H}_4\text{CN}$), 6.90 (m, 4H; $\text{OC}_6\text{H}_4\text{O}$), 4.29 (t, $^3\text{J}(\text{H,H}) = 6$ Hz, 2H; $\text{N}_3\text{CH}_2\text{CH}_2$) 4.03 (t, $^3\text{J}(\text{H,H}) = 6$ Hz, 2H; $\text{CH}_2\text{CH}_2\text{O}$), 3.13 (m, 2H; $\text{CH}_2\text{CH}_2\text{C}=\text{C}$), 2.99 (m, 2H; $\text{C}(\text{O})\text{CH}_2$), 1.86 (m, 2H; CH_2), 1.80 (m, 2H; CH_2), 1.45 (m, 2H; CH_2), 1.30 (m, 10H; CH_2). MALDI-TOF (dithranol): m/z (%) = 3758.1 (100) $[\text{M}+\text{Cu}]^+$, 3733.3 (50) $[\text{M}+\text{K}]^+$, 3716.8 (50) $[\text{M}+\text{Na}]^+$, 3695.2 (17) $[\text{M}]^+$ y picos derivados de la pérdida sucesiva de grupos $\text{C}(\text{O})\text{CH}_2\text{CH}_2\text{CC}(\text{H})\text{N}_3(\text{CH}_2)_{10}\text{OC}_6\text{H}_4\text{N}=\text{NC}_6\text{H}_4\text{CN}$.

Azida hidrófoba

$\text{C}_{23}\text{H}_{28}\text{ON}_6$ (404.51 g/mol). IR (ATR): 2219 (w) $\nu(\text{C}\equiv\text{N})$, 2087 (vs) $\nu(\text{N}_3)$, 1600 (s) 1582 (s) $\nu(\text{C}=\text{C}+\text{N}=\text{N})$. ^1H RMN (CDCl_3) $\delta = 7.94$ ("d", $^3\text{J}(\text{H,H}) = 9.2$ Hz, 4H; $\text{OC}_6\text{H}_4\text{N}=\text{NC}_6\text{H}_4\text{CN}$), 7.79 ("d", $^3\text{J}(\text{H,H}) = 9.2$ Hz, 2H; $\text{OC}_6\text{H}_4\text{N}=\text{NC}_6\text{H}_4\text{CN}$), 7.02 ("d", $^3\text{J}(\text{H,H}) = 9.2$ Hz, 2H; $\text{OC}_6\text{H}_4\text{N}=\text{NC}_6\text{H}_4\text{CN}$), 4.06 (t, $^3\text{J}(\text{H,H}) = 6.4$ Hz, 2H; $\text{CH}_2\text{CH}_2\text{O}$), 3.26 (t, $^3\text{J}(\text{H,H}) = 7.0$ Hz, 2H; $\text{N}_3\text{CH}_2\text{CH}_2$), 1.83 (m, 2H; CH_2), 1.60 (m, 2H; CH_2), 1.49 (m, 2H; CH_2), 1.33 (m, 10H; CH_2). ^1H RMN ($(\text{CD}_3)_2\text{CO}$) $\delta = 8.04 - 7.97$ (m, 6H; $\text{OC}_6\text{H}_4\text{N}=\text{NC}_6\text{H}_4\text{CN}$), 7.15 ("d", $^3\text{J}(\text{H,H}) = 9.2$ Hz, 2H; $\text{OC}_6\text{H}_4\text{N}=\text{NC}_6\text{H}_4\text{CN}$), 4.15 (t, $^3\text{J}(\text{H,H}) = 6.6$ Hz, 2H; $\text{CH}_2\text{CH}_2\text{O}$), 3.33 (t, $^3\text{J}(\text{H,H}) = 7.0$ Hz, 2H; $\text{N}_3\text{CH}_2\text{CH}_2$), 1.84 (m, 2H; CH_2), 1.60 (m, 2H; CH_2), 1.52 (m, 2H; CH_2), 1.36 (m, 10H; CH_2).

Fosfazeno G0-(hidrófilo)₆



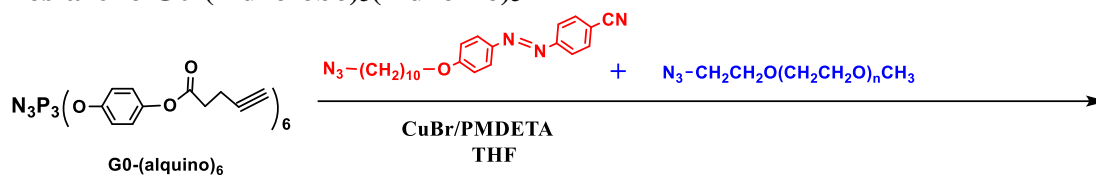
Análisis elemental calculado (%) para una azida-PEG monodispersa con $n=26$: $\text{C}_{396}\text{H}_{720}\text{O}_{180}\text{N}_{21}\text{P}_3$ (8748.91 g/mol): H 8.3%, C 54.4%, N 3.4%. IR (ATR): 1756 (m) $\nu(\text{C}=\text{O})$, 1174 (m) 1140 (s) $\nu(\text{PN})$; 1060 (vs) $\nu(\text{P-OC})$; 953 cm^{-1} (m) $\delta(\text{POC})$. ^{31}P RMN ($(\text{CD}_3)_2\text{CO}$) $\delta = 10.52-10.17$ (m). ^1H RMN ($(\text{CD}_3)_2\text{CO}$) $\delta = 7.86$ (s, 1H; $\text{C}=\text{C}(\text{H})\text{N}$), 7.13-6.92 (m, 4H; $\text{OC}_6\text{H}_4\text{O}$), 4.55 (t, $^3\text{J}(\text{H,H}) = 6.0$ Hz, 2H; $\text{N}_3\text{CH}_2\text{CH}_2$), 3.89 (t, $^3\text{J}(\text{H,H}) = 6.0$ Hz, 2H; OCH_2CH_2), 3.58 (m, 104H, OCH_2), 3.29 (s, 3H, OCH_3), 3.12 (t, $^3\text{J}(\text{H,H}) = 7.0$ Hz, 2H; $\text{CH}_2\text{C}=\text{C}$), 3.02 (t, $^3\text{J}(\text{H,H}) = 7.0$ Hz, 2H; $\text{C}(\text{O})\text{CH}_2$). MALDI-TOF (dithranol): m/z (%) = 8102 [**G0-(hidrófilo)**₆ + Na, $n=147$]; $m/z=6915$ [**G0-(hidrófilo)**₆ + Na, $n=120$]; $m/z=5721$ [**G0-(hidrófilo)**₅(alquino) + Na, $n=94$].

Azida hidrófila N₃-PEG₁₀₀₀

Para una azida-PEG₁₀₀₀(1) monodispersa con $n=26$: $\text{C}_{55}\text{H}_{111}\text{N}_3\text{O}_{23}$ (1246.47 g/mol). MALDI-TOF (dithranol): $M_n=1269.1$, $M_w=1280.6$, $M_w/M_n=1.01$. Para una azida-PEG₁₀₀₀(2) monodispersa con $n=24$: $\text{C}_{51}\text{H}_{103}\text{N}_3\text{O}_{25}$ (1157.68 g/mol). MALDI-TOF (dithranol): $M_n=1148.9$, $M_w=1157.3$, $M_w/M_n=1.01$.

Datos de azida-PEG₁₀₀₀(1): IR (ATR): 2098 (m) $\nu(\text{N}_3)$, 1103 (vs) 1059 (s), 946 (s,br), 841 cm^{-1} (m). ^1H RMN ($(\text{CD}_3)_2\text{CO}$) $\delta = 3.69$ (m, 2H; OCH_2), 3.58 (m, 100H; OCH_2), 3.39 (m, 2H; N_3CH_2), 3.29 (s, 3H; OCH_3). ^1H RMN (CDCl_3) $\delta = 3.64$ (m, 98H; OCH_2), 3.54 (m, 2H; OCH_2), 3.38 (m, 2H; N_3CH_2), 3.37 (s, 3H; OCH_3).

Fosfazeno G0-(hidrófobo)₃(hidrófilo)₃



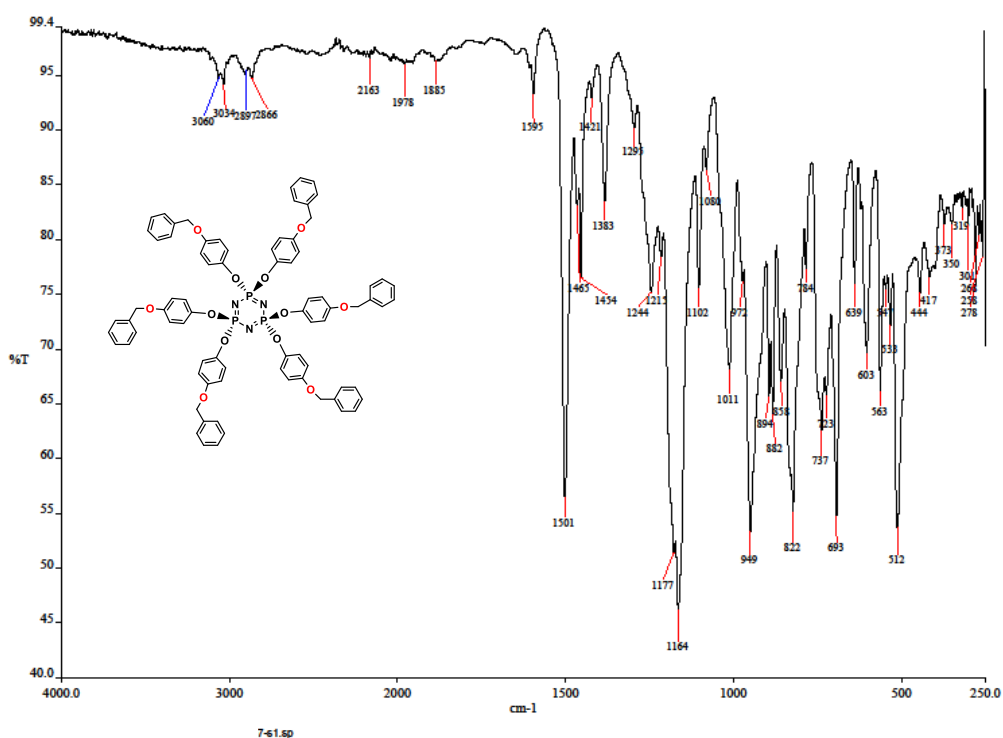
Análisis elemental calculado (%) para una azida-PEG monodisperse con n=26: C₃₀₀H₄₇₁O₁₀₂N₃₀P₃ (6223.01 g/mol): H 4.1%, C 75.2%, N 3.5%. IR (ATR): 2228 (w) $\nu(\text{C}\equiv\text{N})$, 1754 (m) $\nu(\text{C}=\text{O})$, 1600 (w) 1583 (w) $\nu(\text{C}=\text{C} + \text{N}=\text{N})$ 1167 (s) 1133 (vs) $\nu(\text{PN})$; 1042 (m) $\nu(\text{P-OC})$; 952 cm⁻¹ (m) $\delta(\text{POC})$. ³¹P{¹H} RMN (400 MHz, CDCl₃): δ 9.45-9.10 (m, 3P; anillo N₃P₃). ¹H RMN (CDCl₃) δ = 7.80 (br, 4H; OC₆H₄N=NC₆H₄CN), 7.66 ("d", ³J(H,H) = 8 Hz, 2H; OC₆H₄N=NC₆H₄CN), 7.52 (s, 1H; C=C(H)N), 7.37 (s, 1H; C=C(H)N), 6.88 ("d", ³J(H,H) = 8 Hz, 2H; OC₆H₄N=NC₆H₄CN), 6.80 (m, 8H; OC₆H₄O), 4.39 (br, 2H; N₃CH₂CH₂), 4.18 (t, ³J(H,H) = 7.2 Hz 2H; N₃CH₂CH₂), 3.92 (br, 2H; CH₂CH₂O), 3.73 (br, 2H; CH₂CH₂O), 3.52 (m, 62H, OCH₂), 3.25 (s, 3H, OCH₃), 3.03 (br, 4H; CH₂CH₂C=C), 2.87 (br, 4H; C(O)CH₂), 1.75 (m, 2H; CH₂), 1.68 (m, 2H; CH₂), 1.35 (m, 2H; CH₂), 1.18 (m, 10H; CH₂).

MALDI-TOF (dithranol) para **G0-(hidrófobo)₃(hidrófilo)₃-1**: m/z (%) = 5096 [**G0-(hidrófobo)₄(hidrófilo)₂** + Na, n = 51]; m/z (%) = 4380 [**G0-(hidrófobo)₅(hidrófilo)₁** + Na, n = 28].

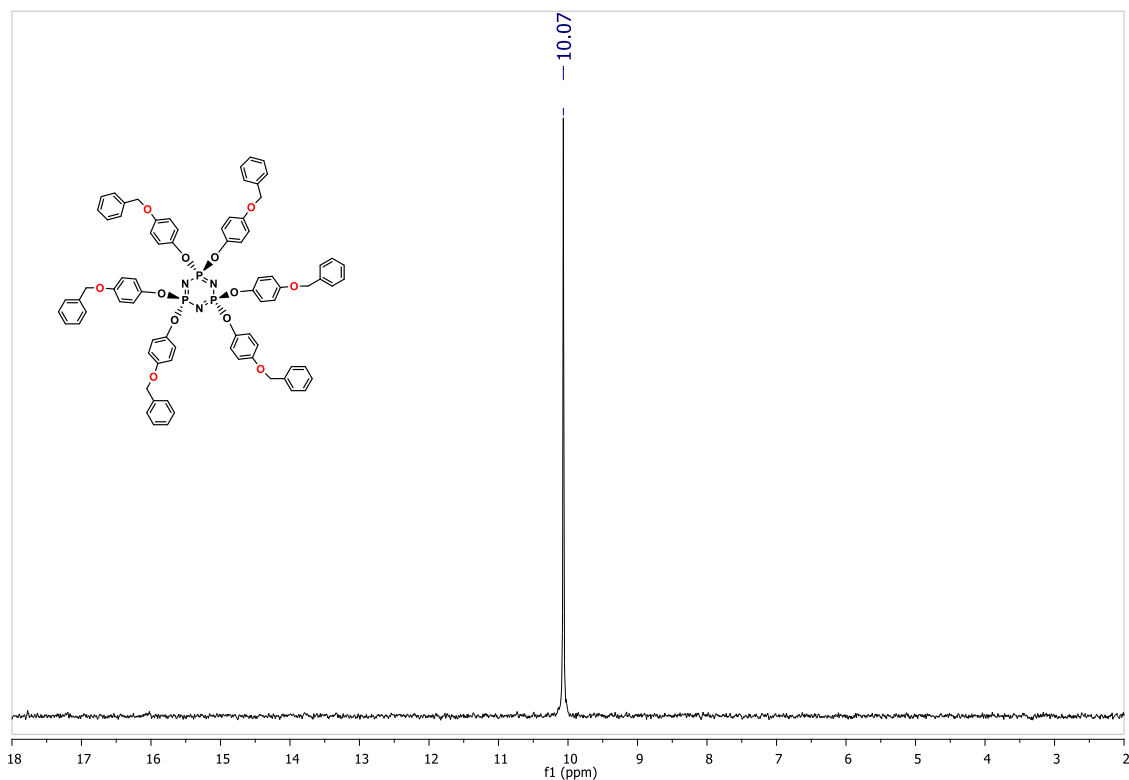
MALDI-TOF (dithranol) para **G0-(hidrófobo)₃(hidrófilo)₃-2**: m/z = 5893 [**G0-(hidrófobo)₃(hidrófilo)₃** + Na, n = 76; m/z (%) = 5225 [**G0-(hidrófobo)₄(hidrófilo)₂** + Na, n = 54].

V.II. ANEXO 2: ESPECTROS DE LOS COMPUESTOS PREPARADOS

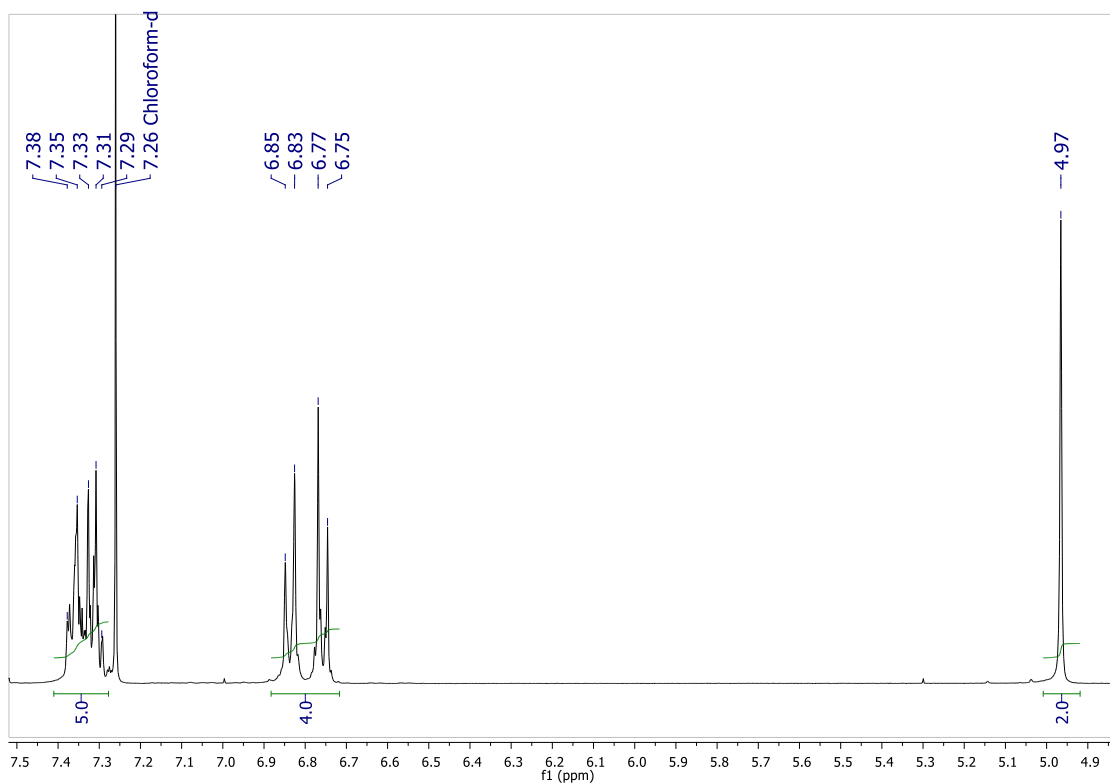
DATOS DEL DENDRÍMERO $N_3P_3(OC_6H_4\{OCH_2Ph\}-4)_6$; $G_0-(OBn)_6$



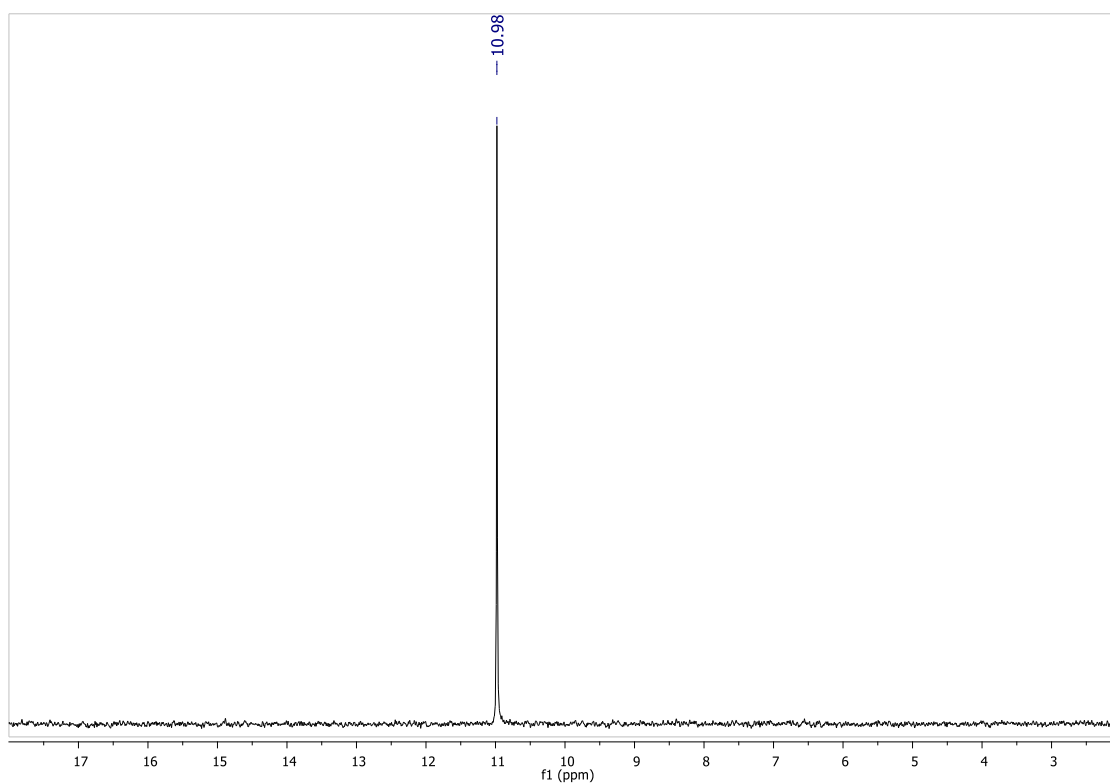
Espectro IR de $N_3P_3(OC_6H_4\{OCH_2Ph\}-4)_6$; $G_0-(OBn)_6$



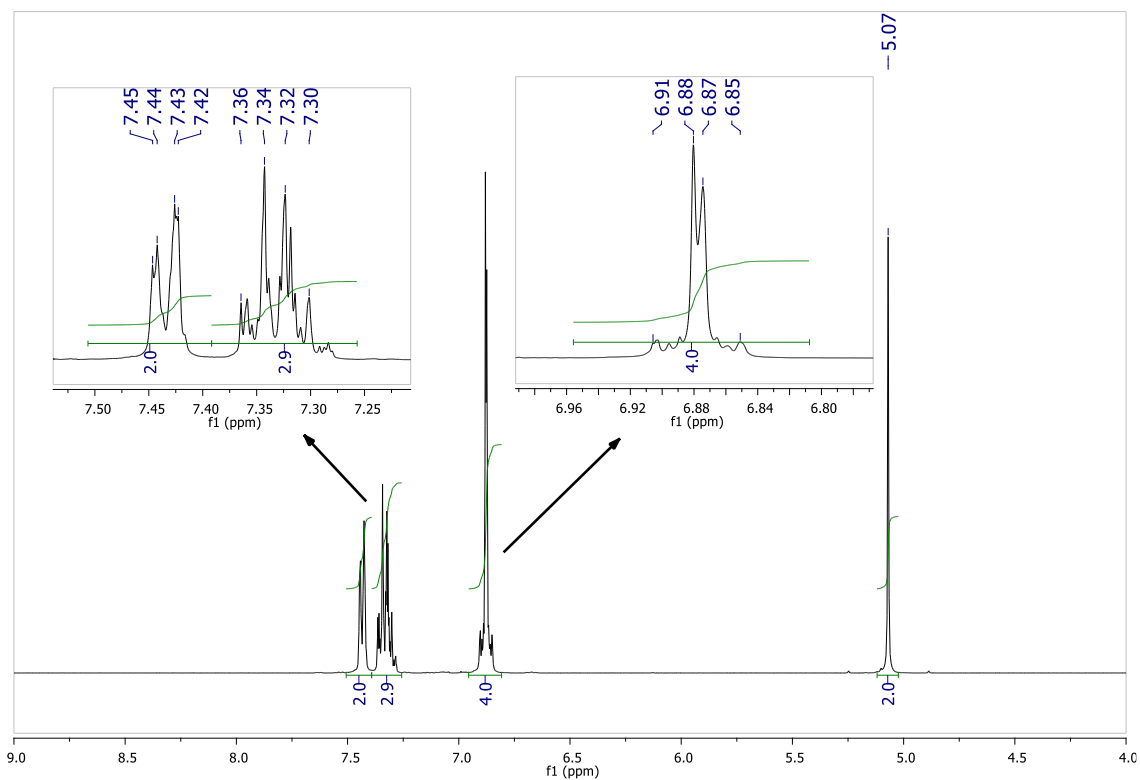
Espectro RMN de $^{31}P\{^1H\}$ de $N_3P_3(OC_6H_4\{OCH_2Ph\}-4)_6$; $G_0-(OBn)_6$ en $CDCl_3$



Espectro RMN de ^1H de $\text{N}_3\text{P}_3(\text{OC}_6\text{H}_4\{\text{OCH}_2\text{Ph}\}-4)_6$; **GO-(OBn) $_6$** en CDCl_3

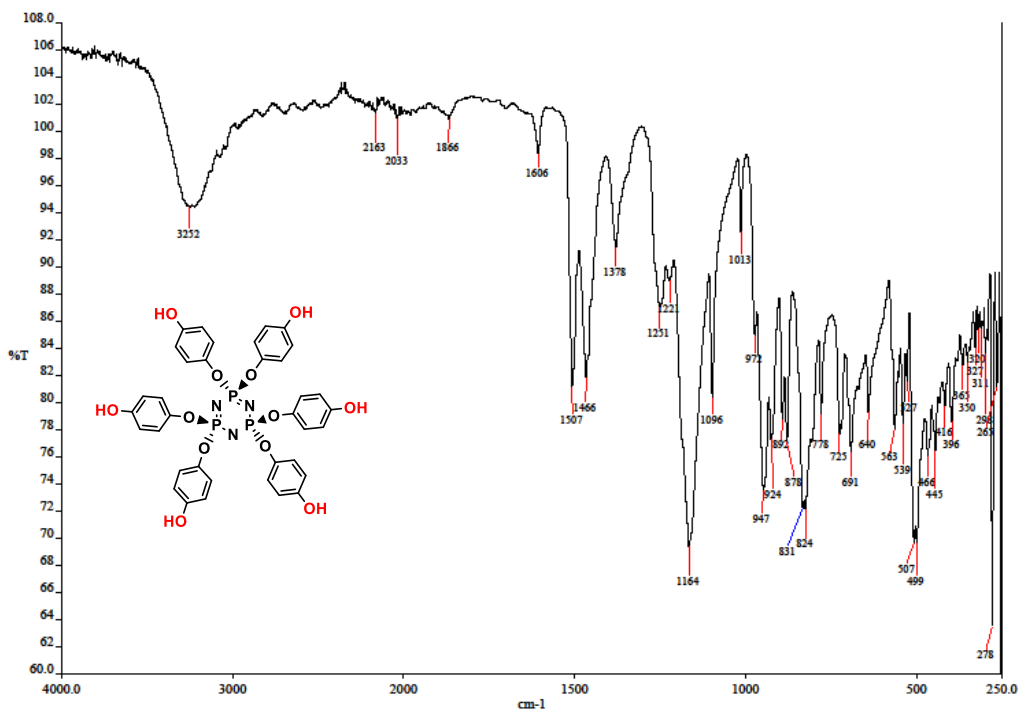


Espectro RMN de $^{31}\text{P}\{^1\text{H}\}$ de $\text{N}_3\text{P}_3(\text{OC}_6\text{H}_4\{\text{OCH}_2\text{Ph}\}-4)_6$; **GO-(OBn) $_6$** en $(\text{CD}_3)_2\text{CO}$

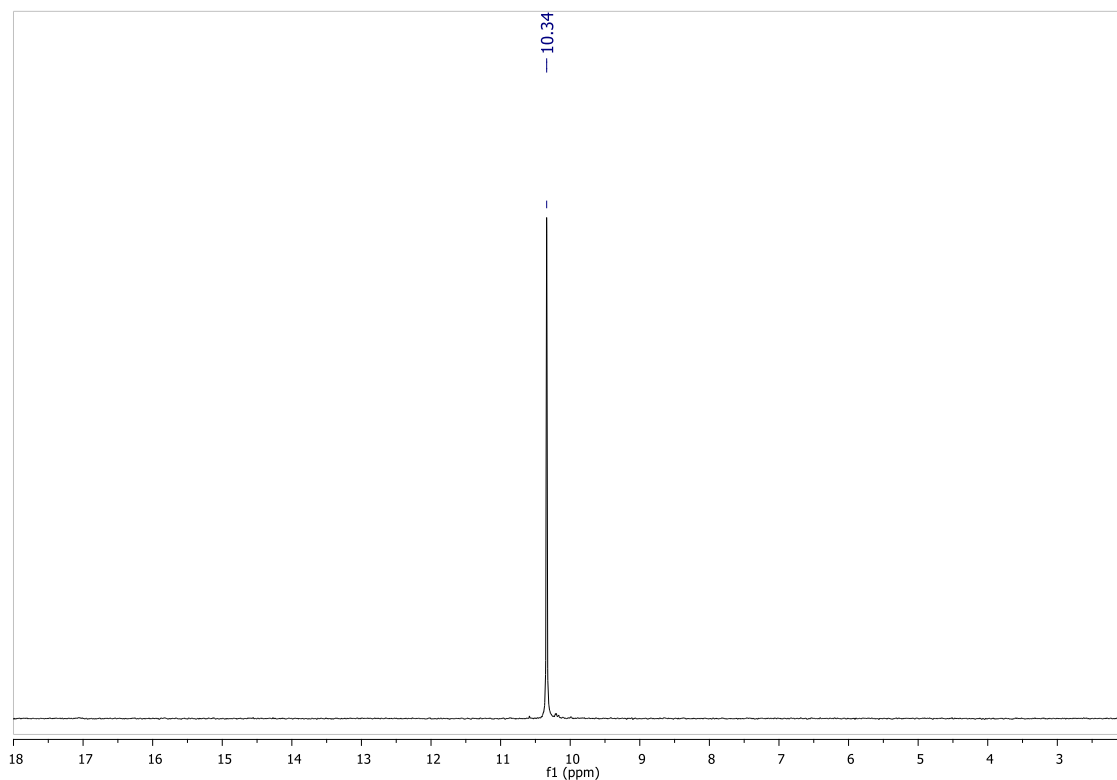


Espectro RMN de 1H de $N_3P_3(OC_6H_4\{OCH_2Ph\}-4)_6; G_0-(OBn)_6$ en $(CD_3)_2CO$

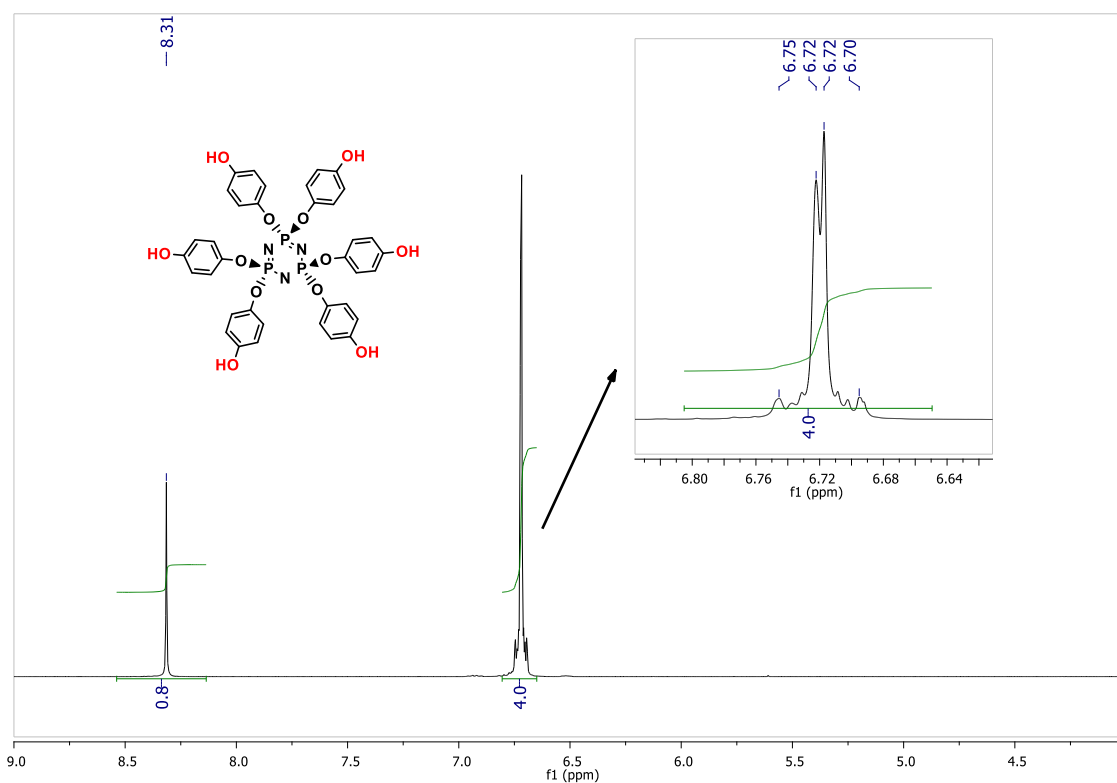
DATOS DEL DENDRÍMERO $N_3P_3(OC_6H_4\{OH\}-4)_6; G_0-(OH)_6$



Espectro IR de $N_3P_3(OC_6H_4\{OH\}-4)_6; G_0-(OH)_6$

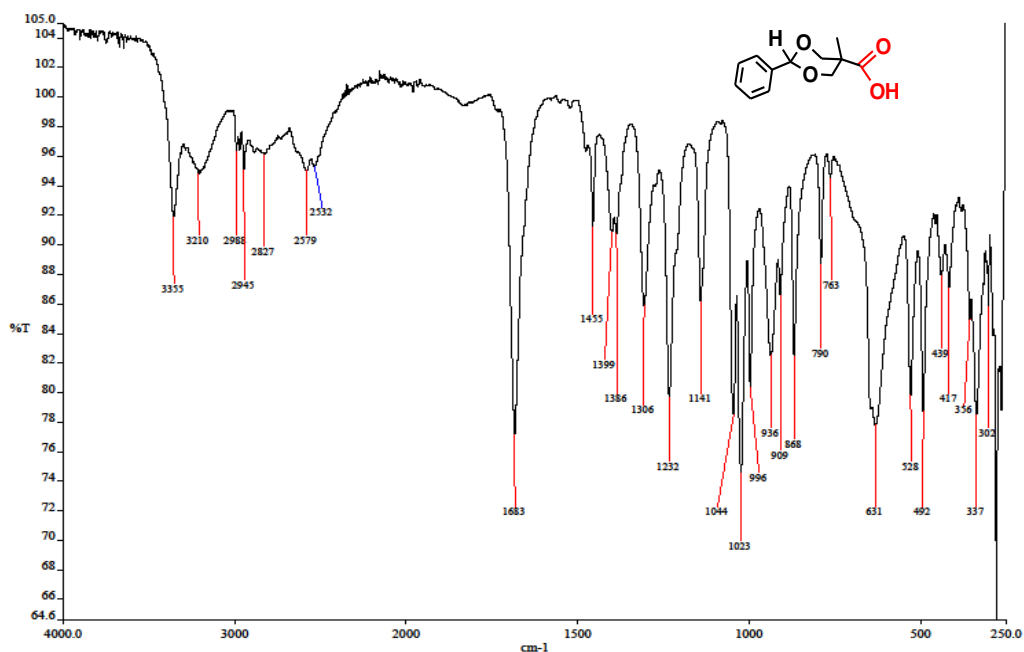


Espectro RMN de $^{31}\text{P}\{^1\text{H}\}$ de $\text{N}_3\text{P}_3(\text{OC}_6\text{H}_4\{\text{OH}\}-4)_6$; $\text{GO}-(\text{OH})_6$ en $(\text{CD}_3)_2\text{CO}$

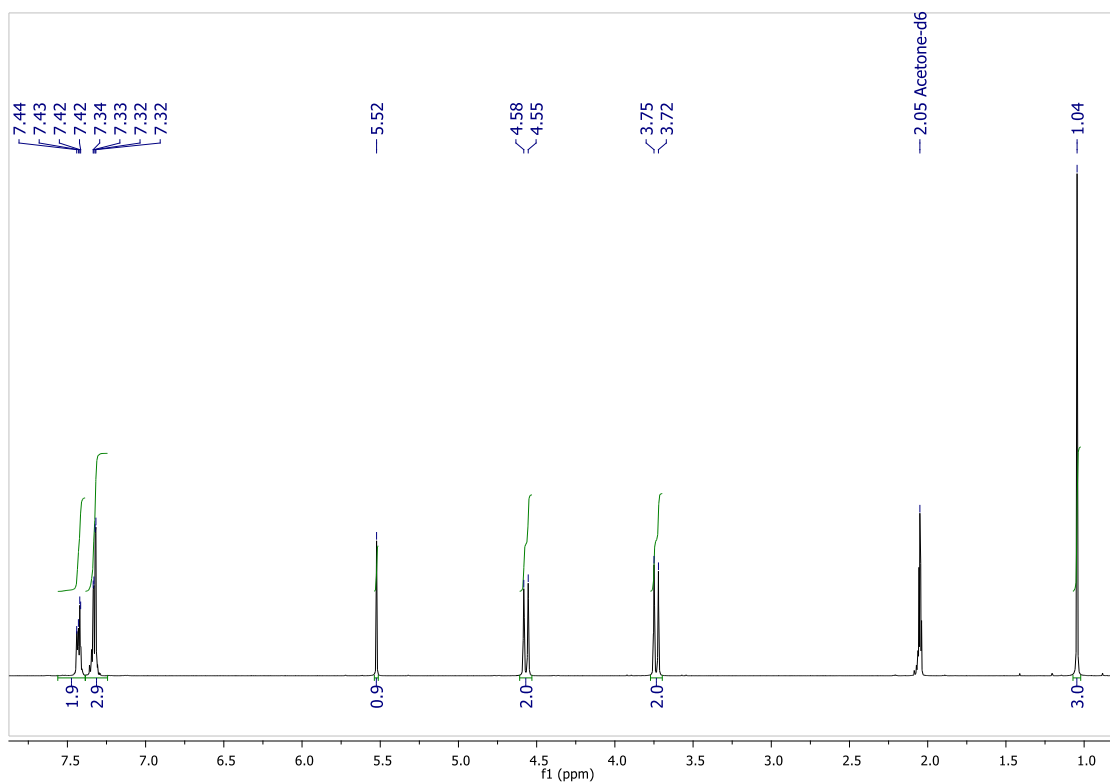


Espectro RMN de ^1H de $\text{N}_3\text{P}_3(\text{OC}_6\text{H}_4\{\text{OH}\}-4)_6$; $\text{GO}-(\text{OH})_6$ en $(\text{CD}_3)_2\text{CO}$

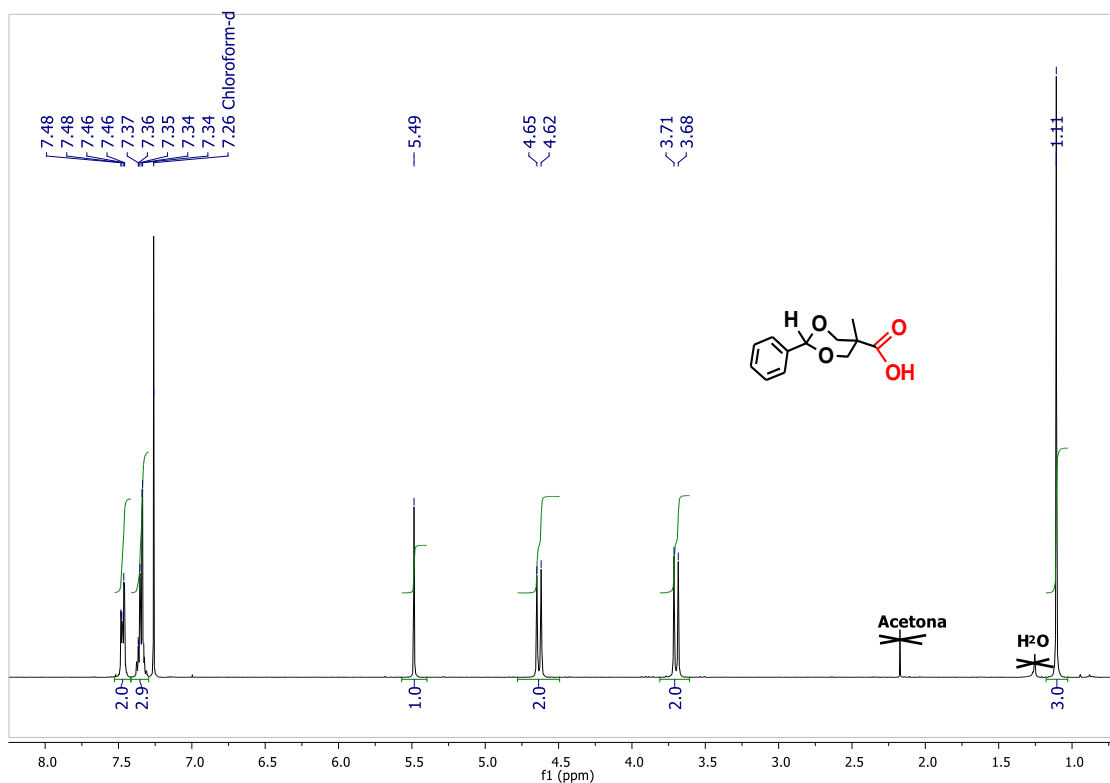
DATOS DEL ácido 2-fenil-5-metil-1,3-dioxan-5-carboxílico:



Espectro IR de ácido 2-fenil-5-metil-1,3-dioxan-5-carboxílico (**1**)

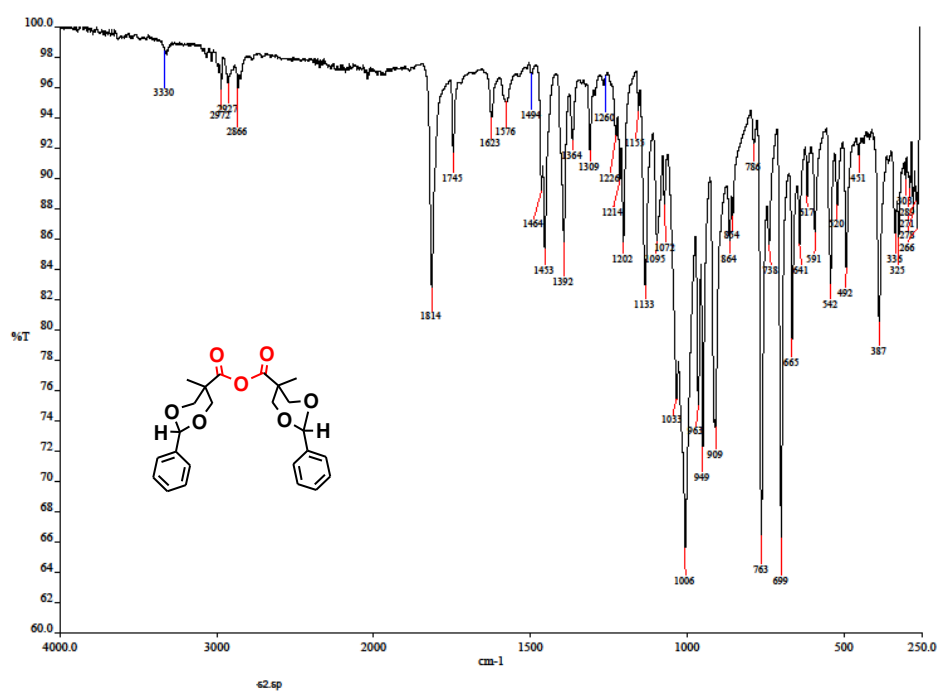


Espectro RMN de ¹H de ácido 2-fenil-5-metil-1,3-dioxan-5-carboxílico (**1**) en (CD₃)₂CO

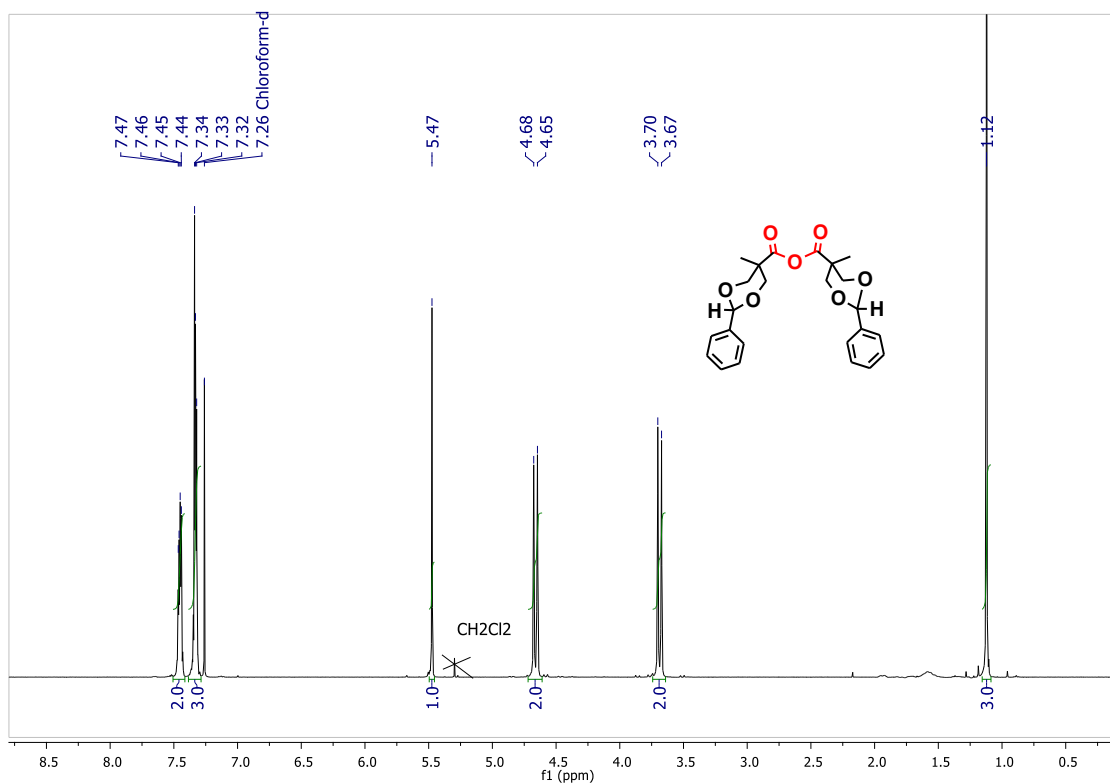


Espectro RMN de ¹H de ácido 2-fenil-5-metil-1,3-dioxan-5-carboxílico (**1**) en CDCl₃

DATOS DEL anhídrido 2-fenil-5-metil-1,3-dioxan-5-carboxílico:

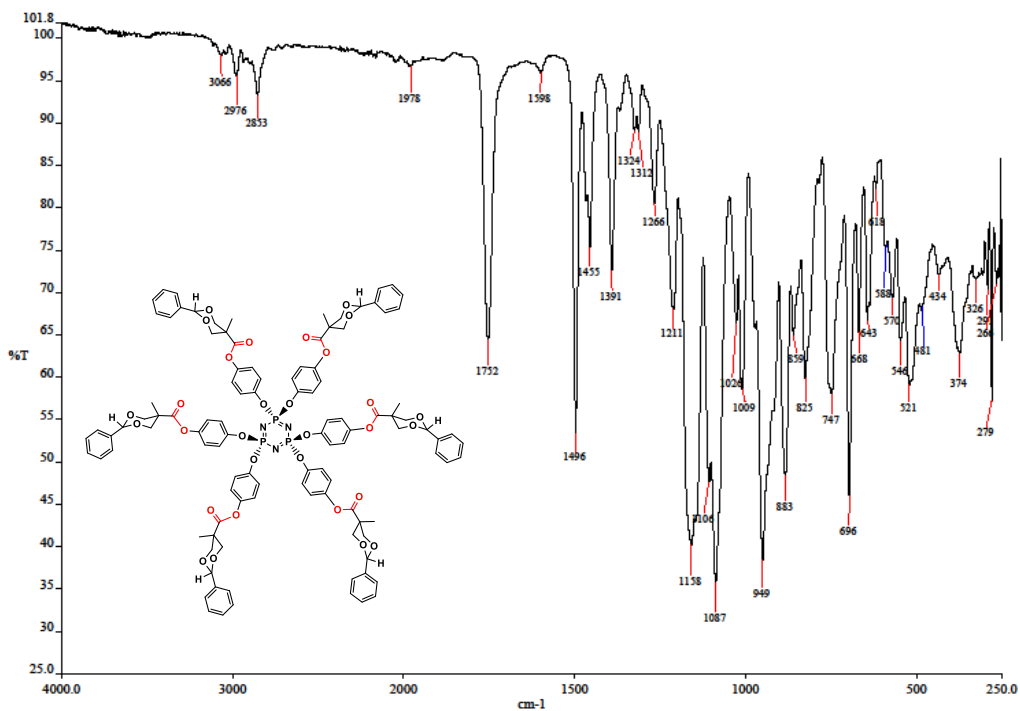


Espectro IR de anhídrido 2-fenil-5-metil-1,3-dioxan-5-carboxílico (**2**)

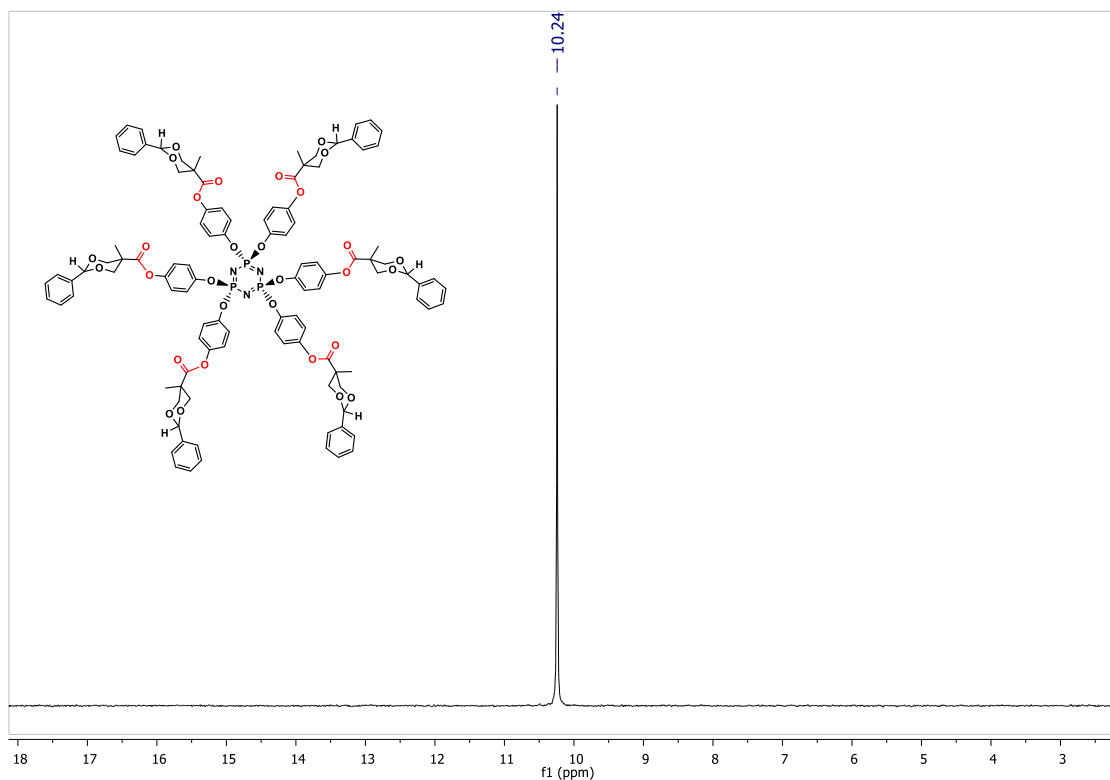


Espectro RMN de ^1H de anhídrido 2-fenil-5-metil-1,3-dioxan-5-carboxílico (**2**) en CDCl_3

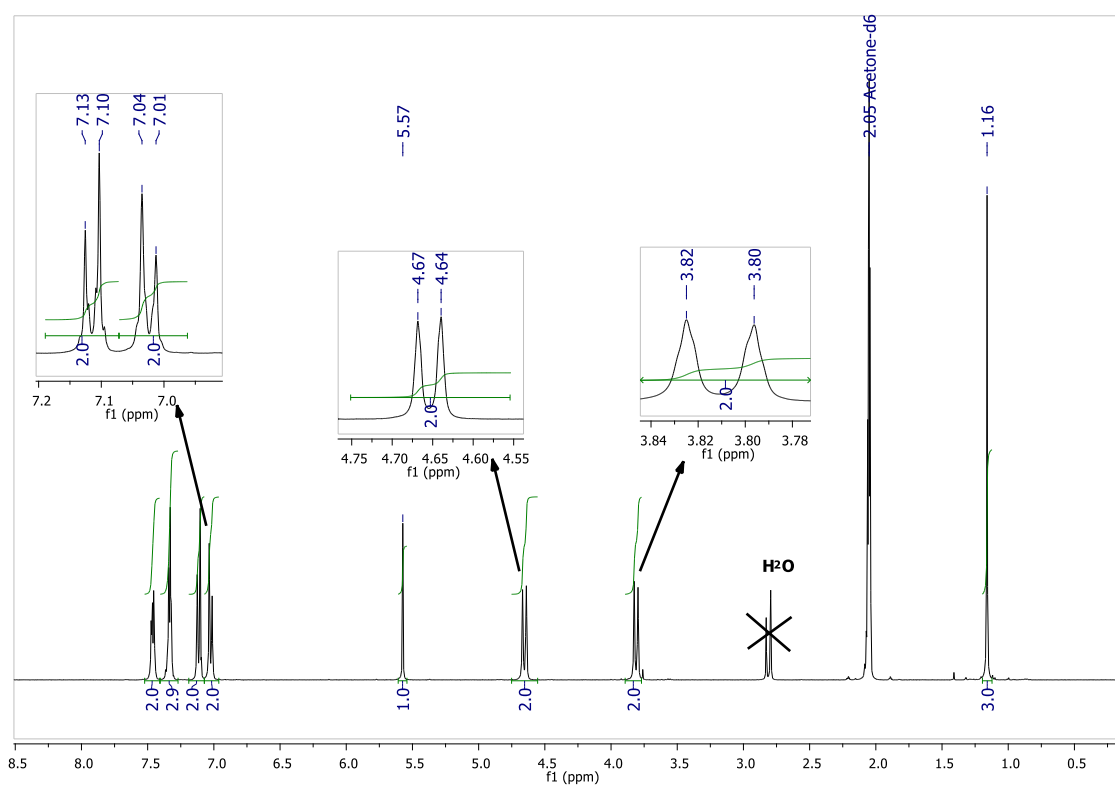
DATOS DEL DENDRÍMERO $\text{G1-(O}_2\text{Bn)}_6$



Espectro IR de $\text{G1-(O}_2\text{Bn)}_6$

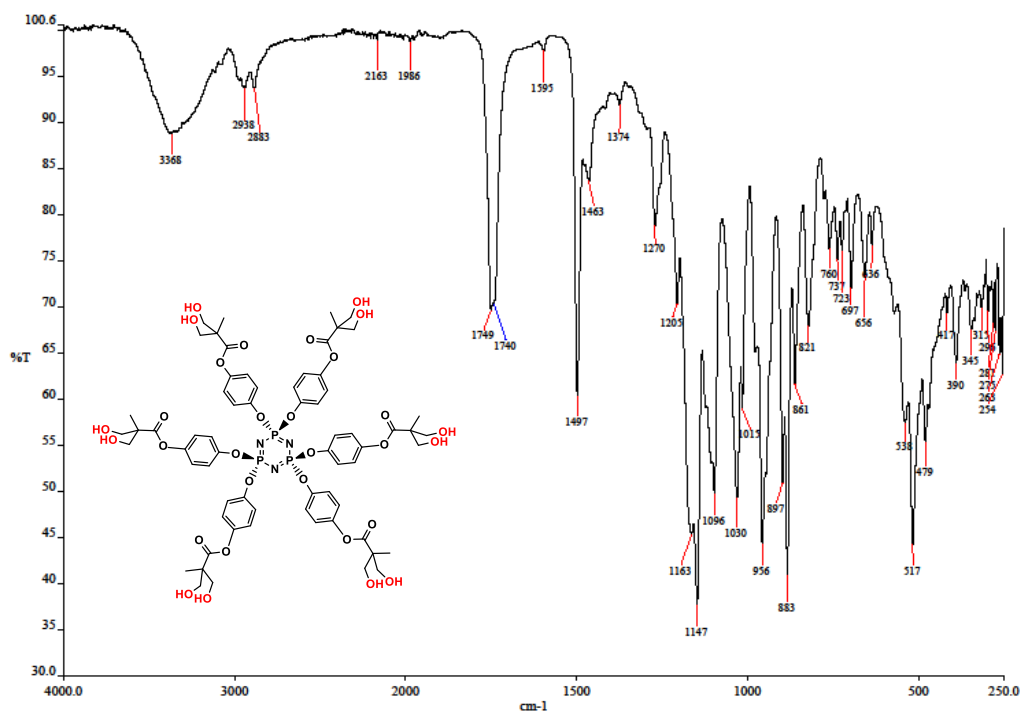


Espectro RMN de $^{31}\text{P}\{^1\text{H}\}$ de $\text{G1-(O}_2\text{Bn)}_6$ en $(\text{CD}_3)_2\text{CO}$

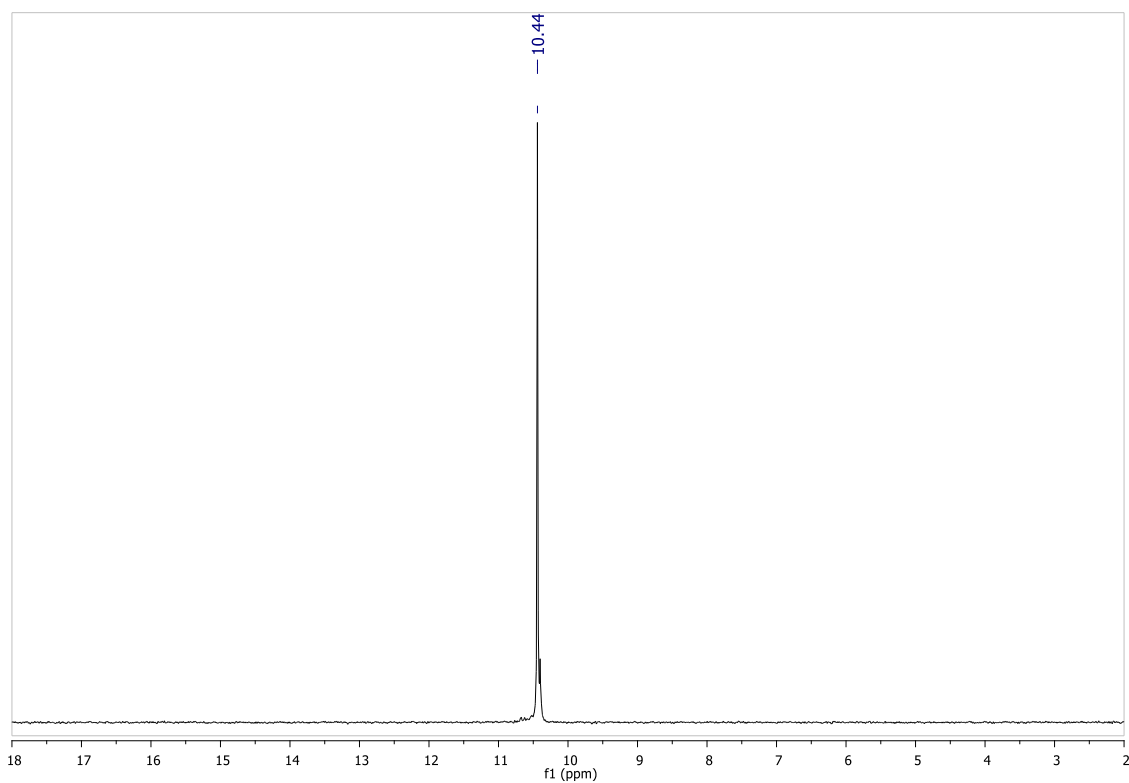


Espectro RMN de ^1H de $\text{G1-(O}_2\text{Bn)}_6$ en $(\text{CD}_3)_2\text{CO}$

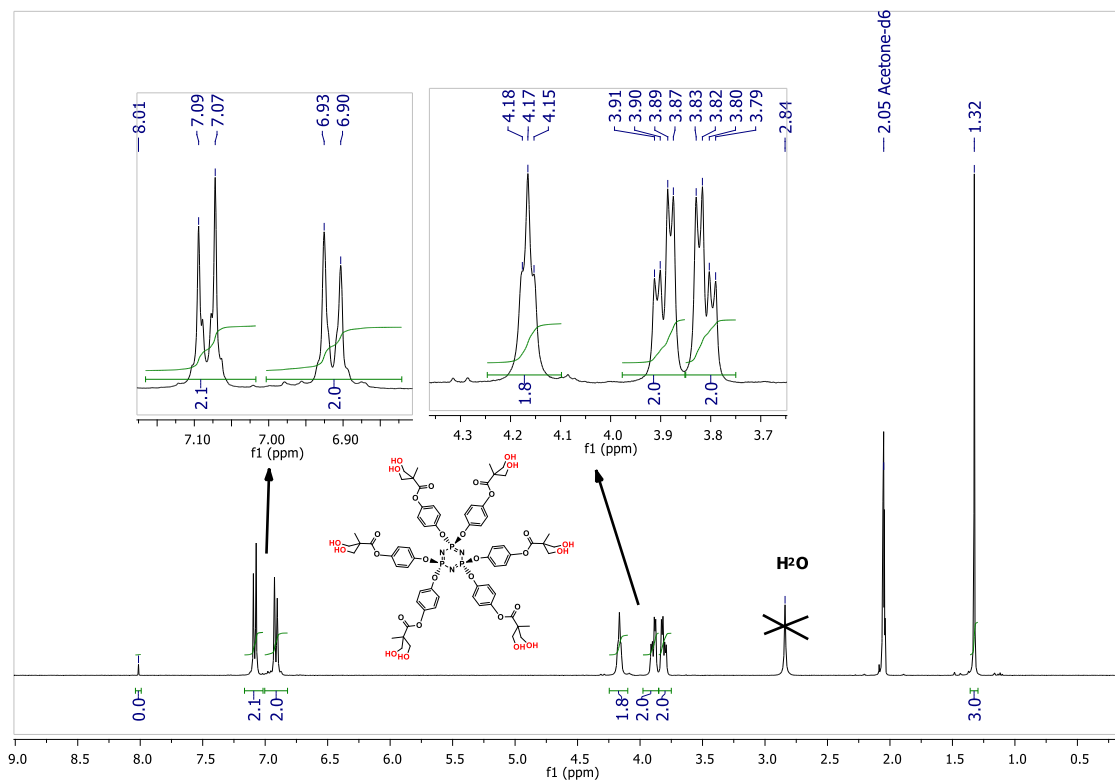
DATOS DEL DENDRÍMERO G1-(OH)₁₂



Espectro IR de G1-(OH)₁₂

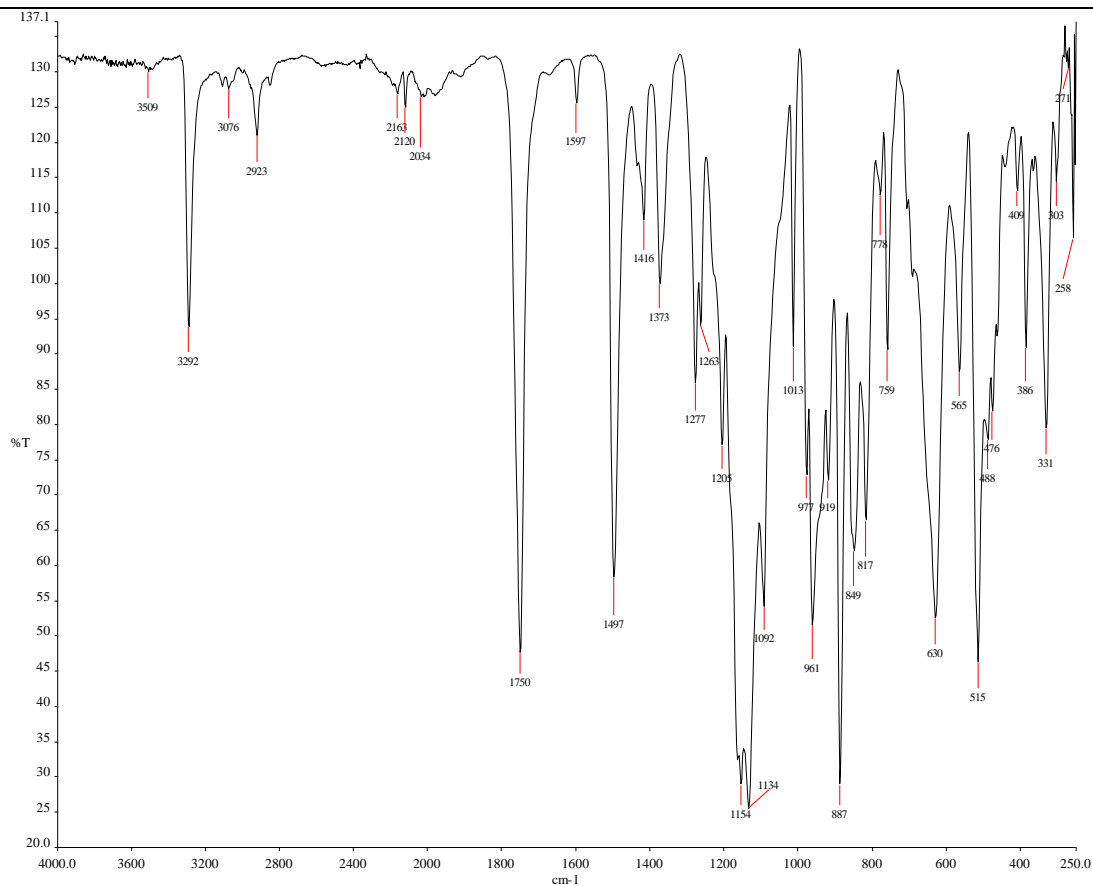


Espectro RMN de ³¹P{¹H} de G1-(OH)₁₂ en (CD₃)₂CO



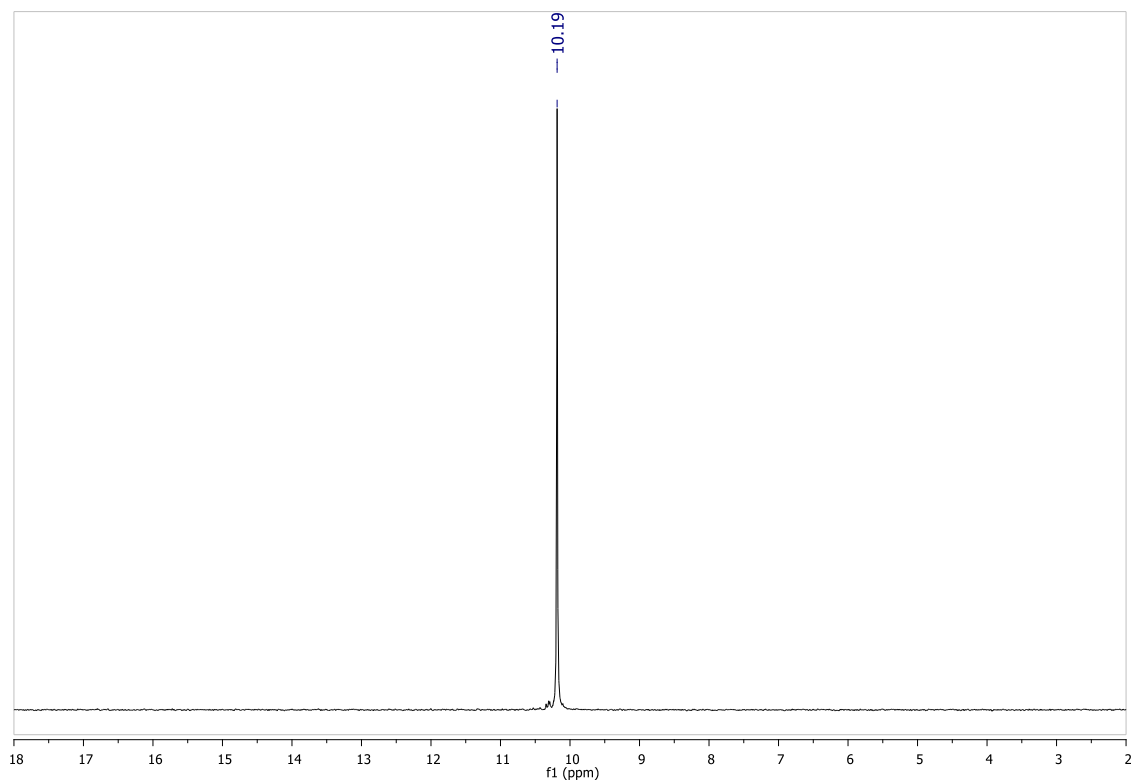
Espectro RMN de ¹H de G1-(OH)₁₂ en (CD₃)₂CO

DATOS DEL DENDRÍMERO G0-(alquino)₆

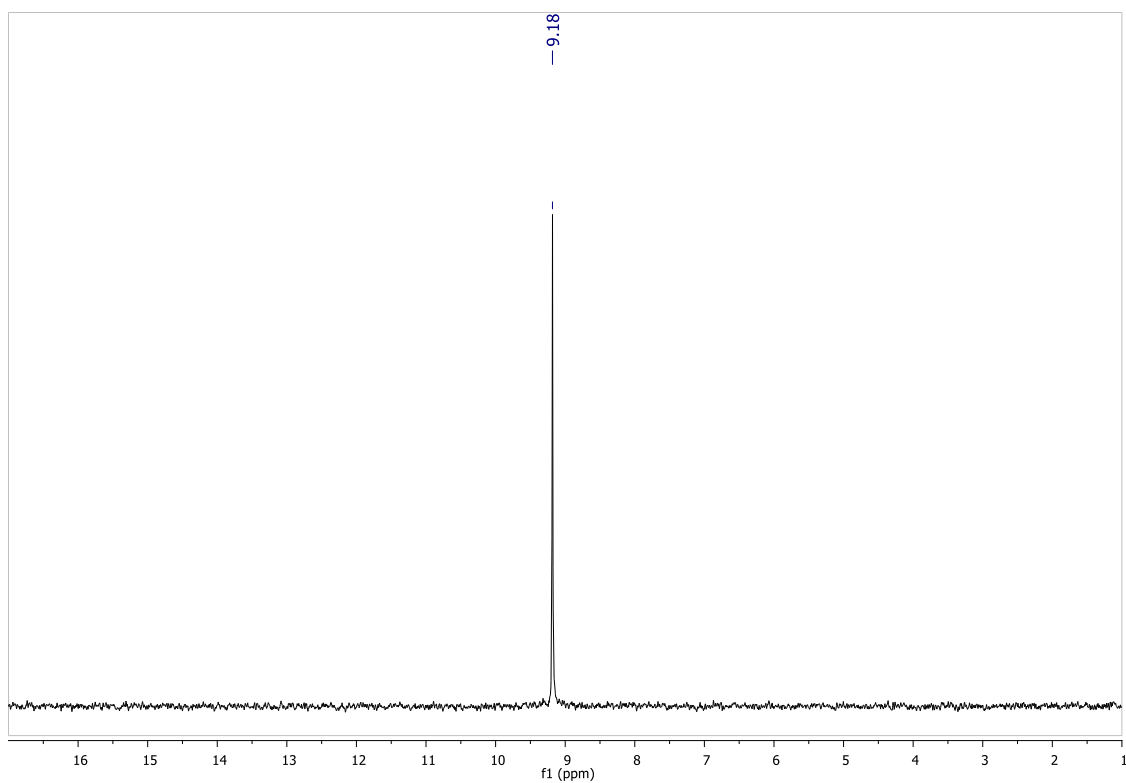


Espectro IR de G0-(alquino)₆

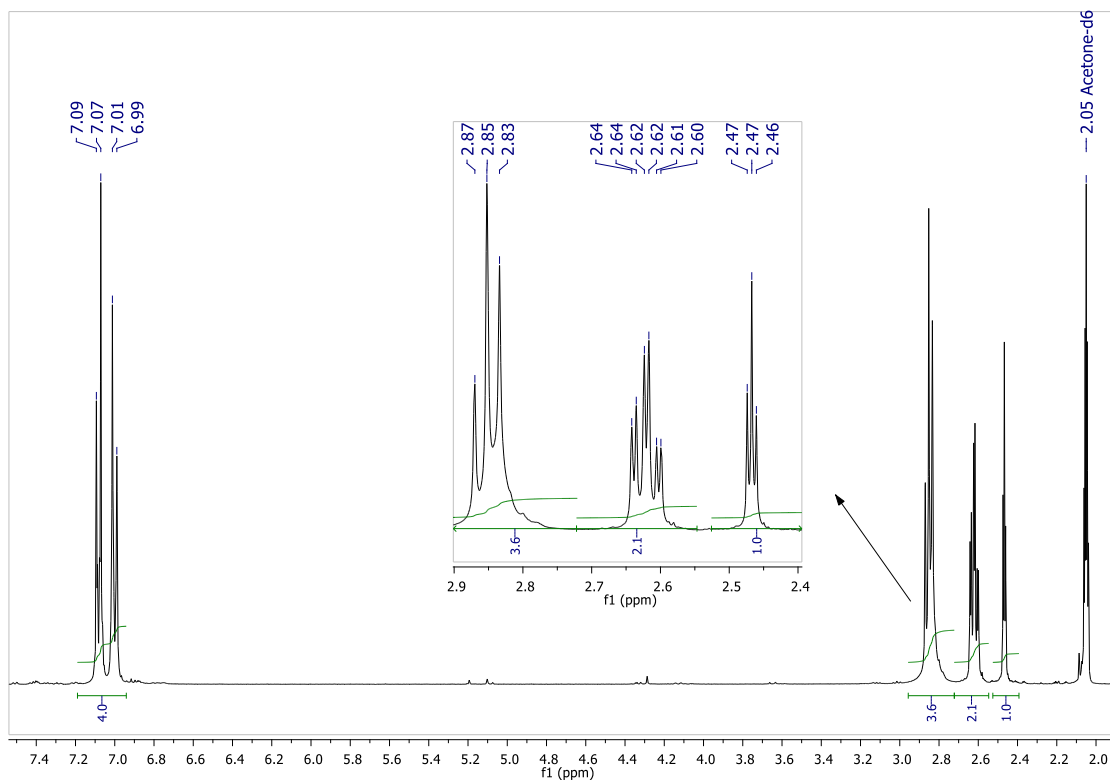
V.II. Anexo 2: Espectros de los compuestos



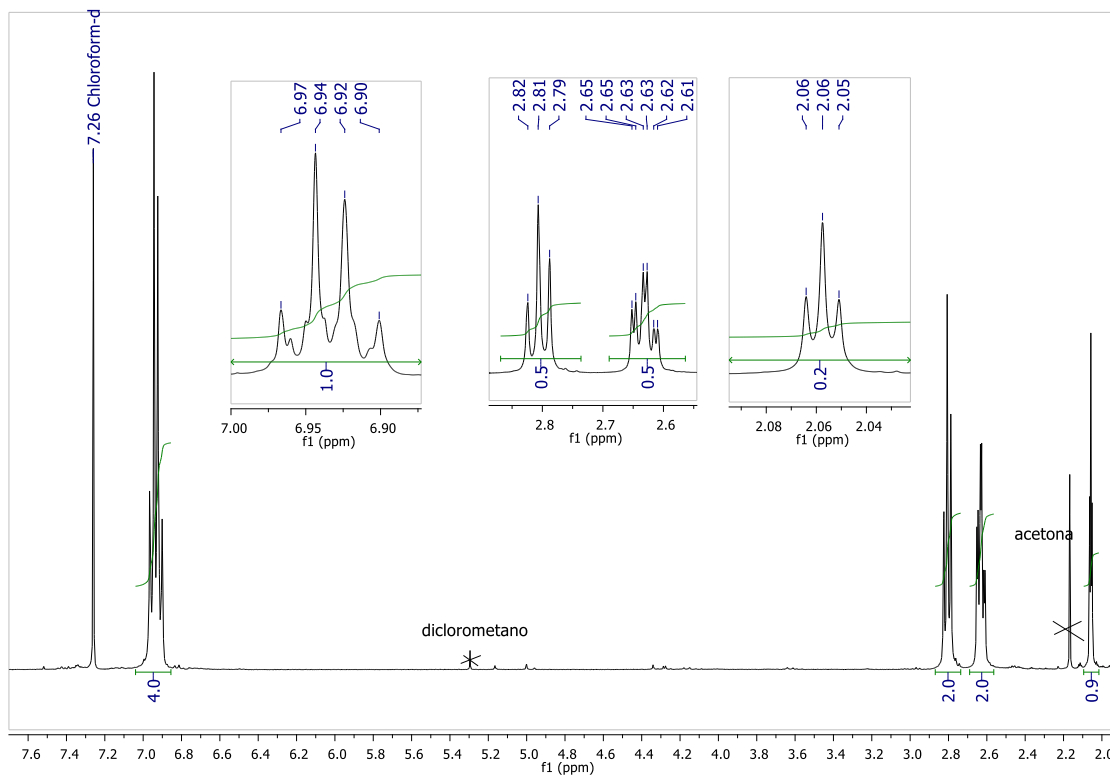
Espectro RMN de $^{31}\text{P}\{^1\text{H}\}$ de GO-(alquino)_6 en $(\text{CD}_3)_2\text{CO}$



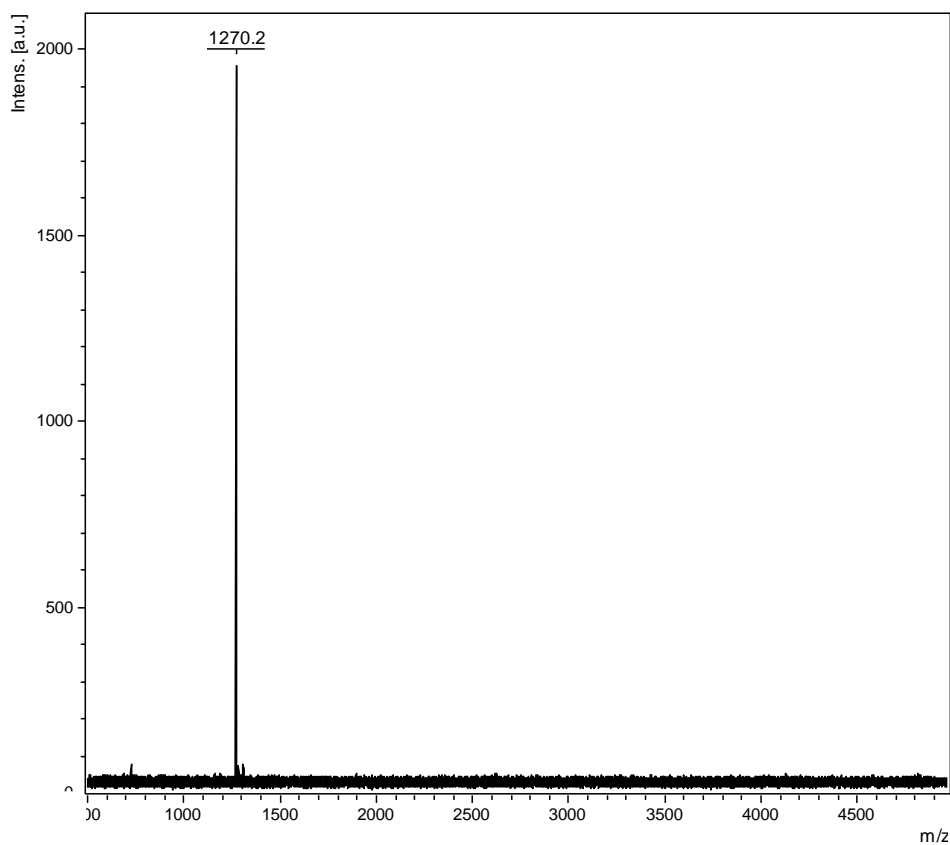
Espectro RMN de $^{31}\text{P}\{^1\text{H}\}$ de GO-(alquino)_6 en CDCl_3



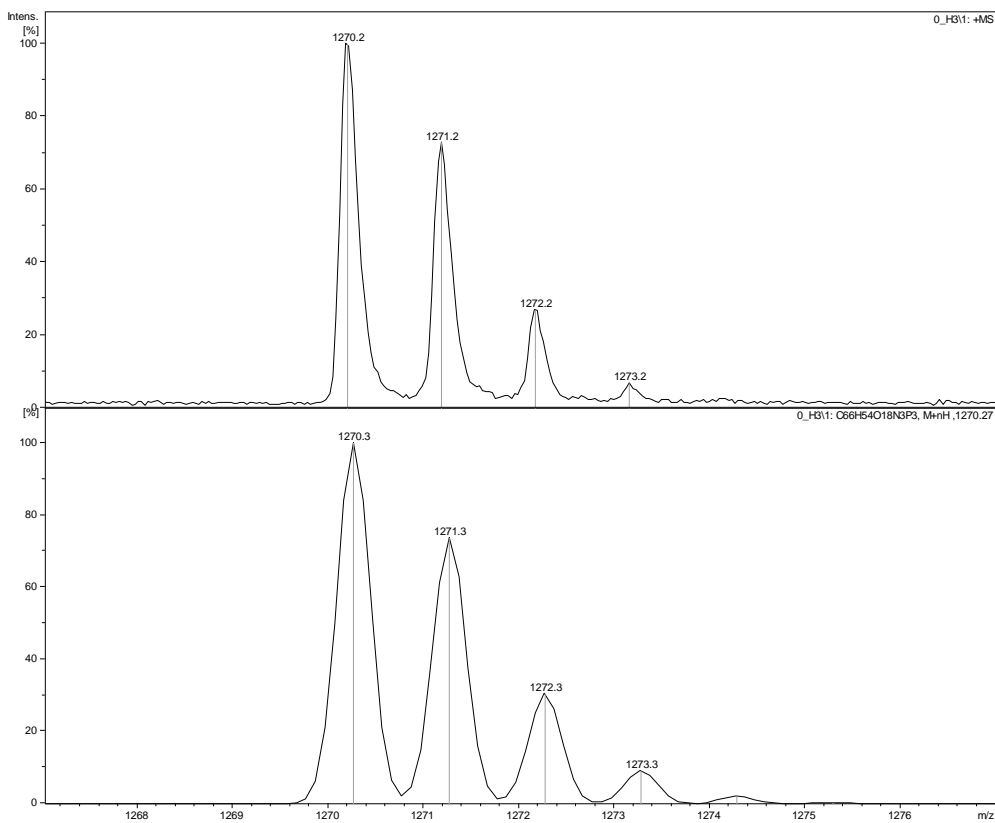
Espectro RMN de ¹H de G0-(alquino)₆ en (CD₃)₂CO



Espectro RMN de ¹H de G0-(alquino)₆ en (CDCl₃)

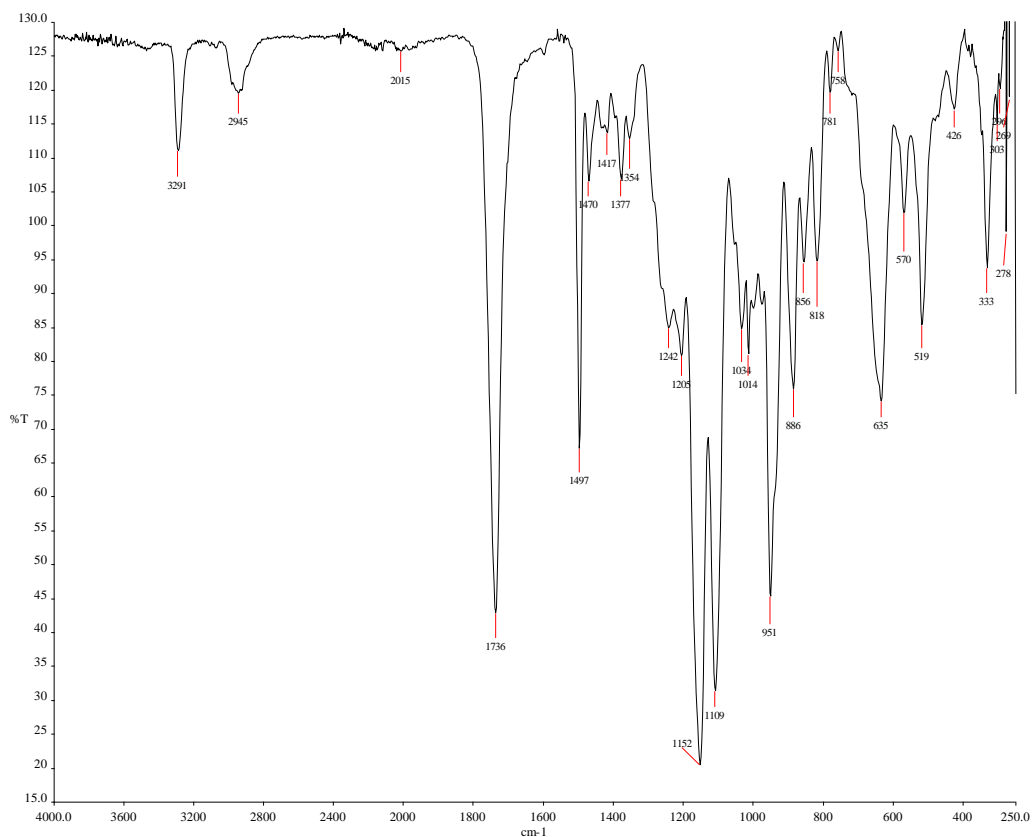


Espectro de masas MALDI+ de GO-(alquino)₆

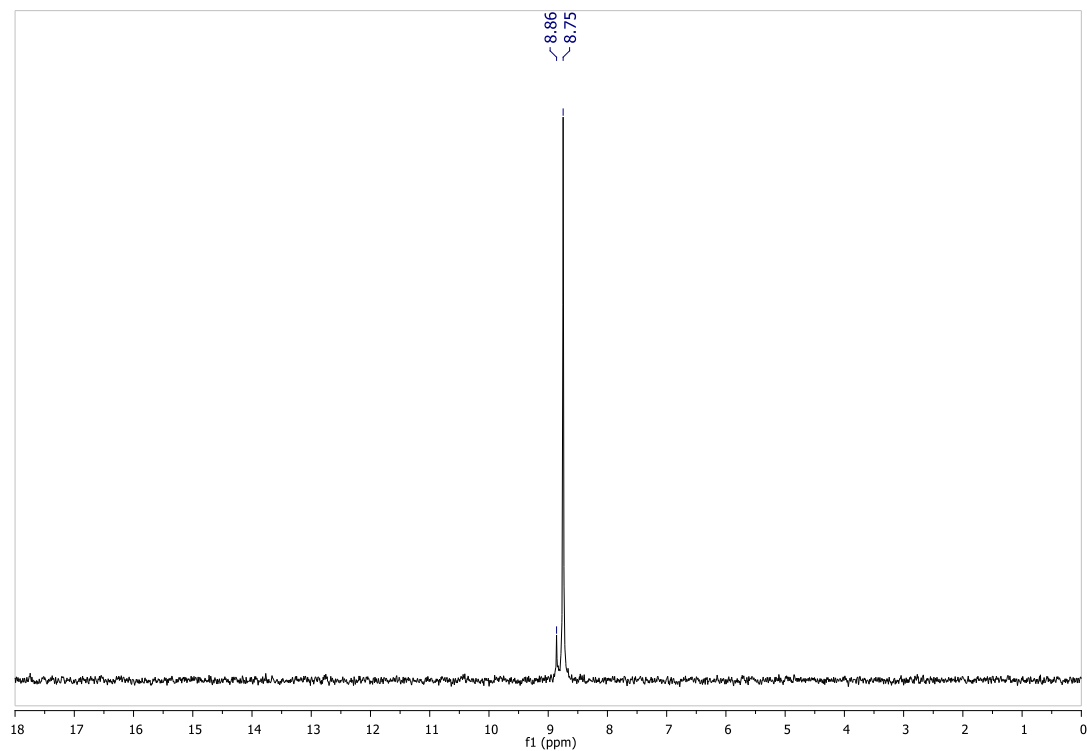


Espectro de masas MALDI+ de GO-(alquino)₆ Distribución isotópica experimental y teórica del ion [M+H]⁺

DATOS DEL DENDRÍMERO G1-(alquino)₁₂

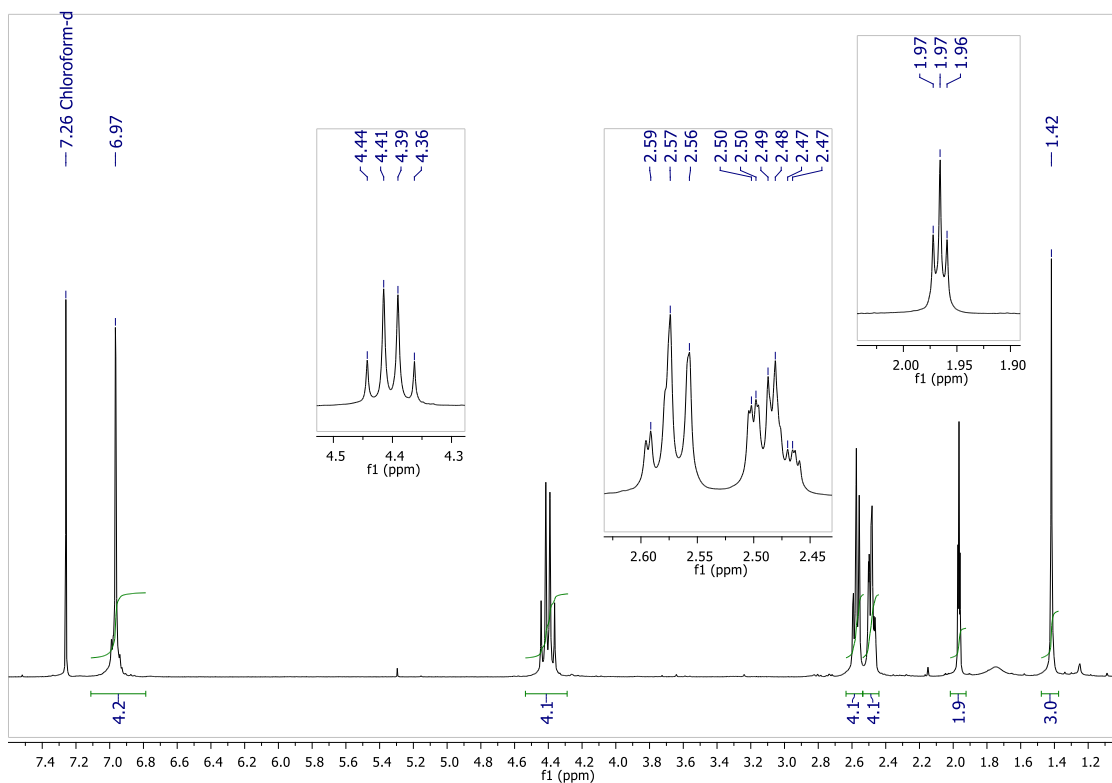


Espectro IR de G1-(alquino)₁₂

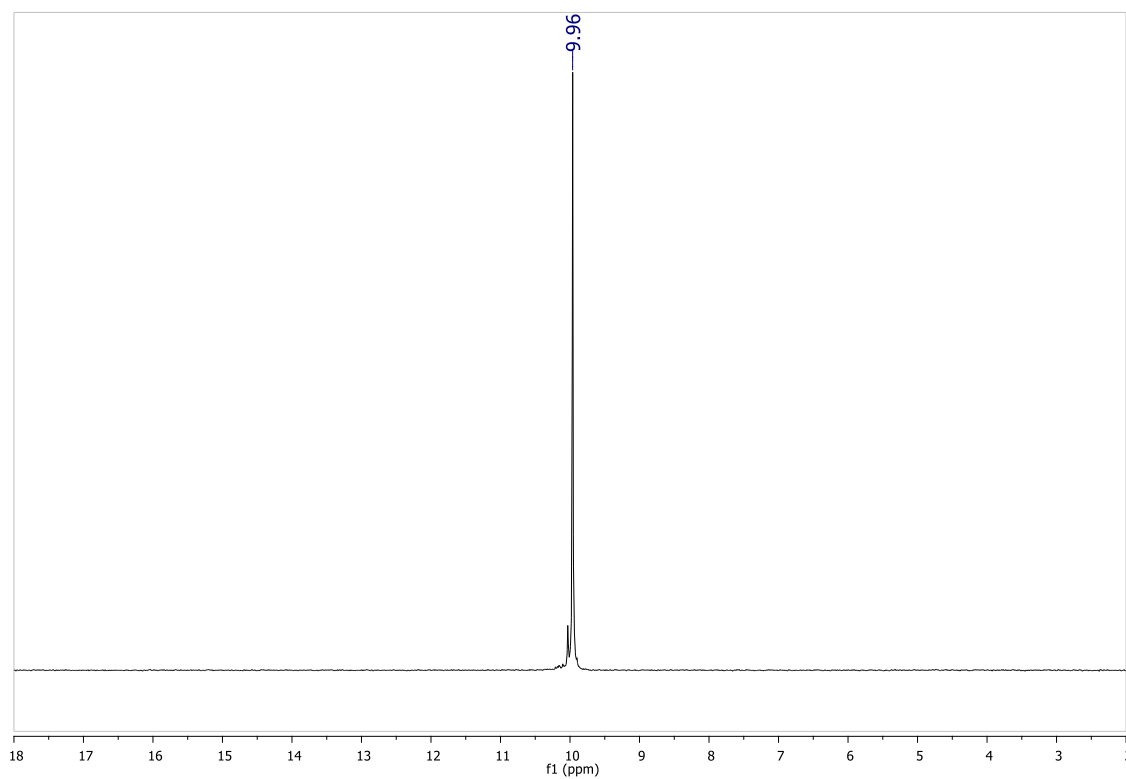


Espectro RMN de ³¹P{¹H} de G1-(alquino)₁₂ en CDCl₃

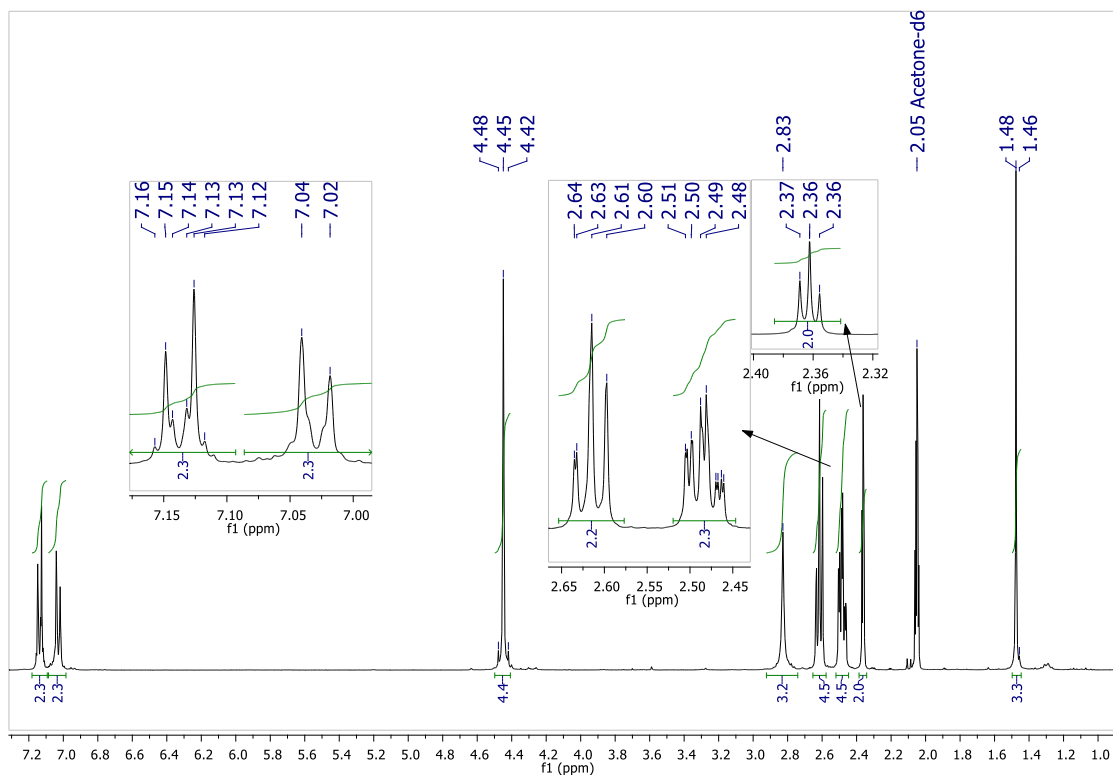
V.II. Anexo 2: Espectros de los compuestos



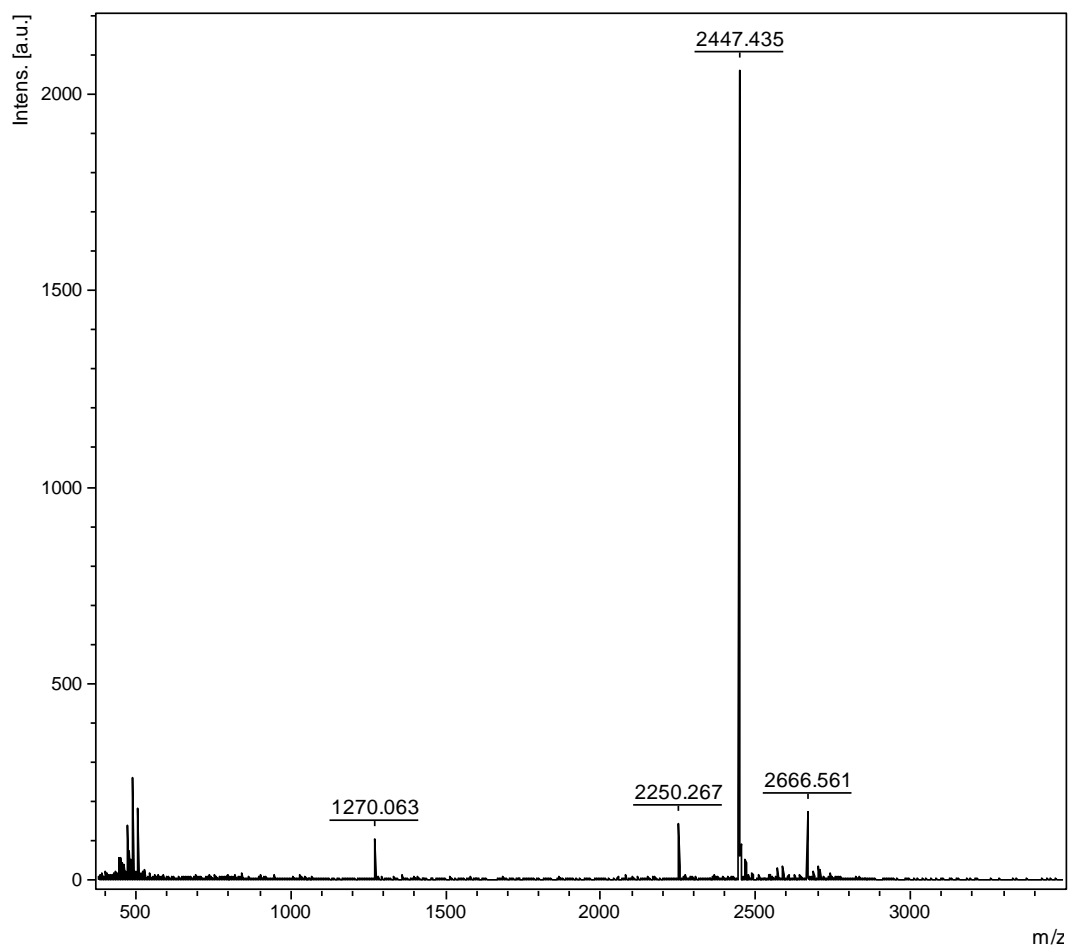
Espectro RMN de ^1H de **G1-(alquino)₁₂** en CDCl_3



Espectro RMN de $^{31}\text{P}\{^1\text{H}\}$ de **G1-(alquino)₁₂** en $(\text{CD}_3)_2\text{CO}$

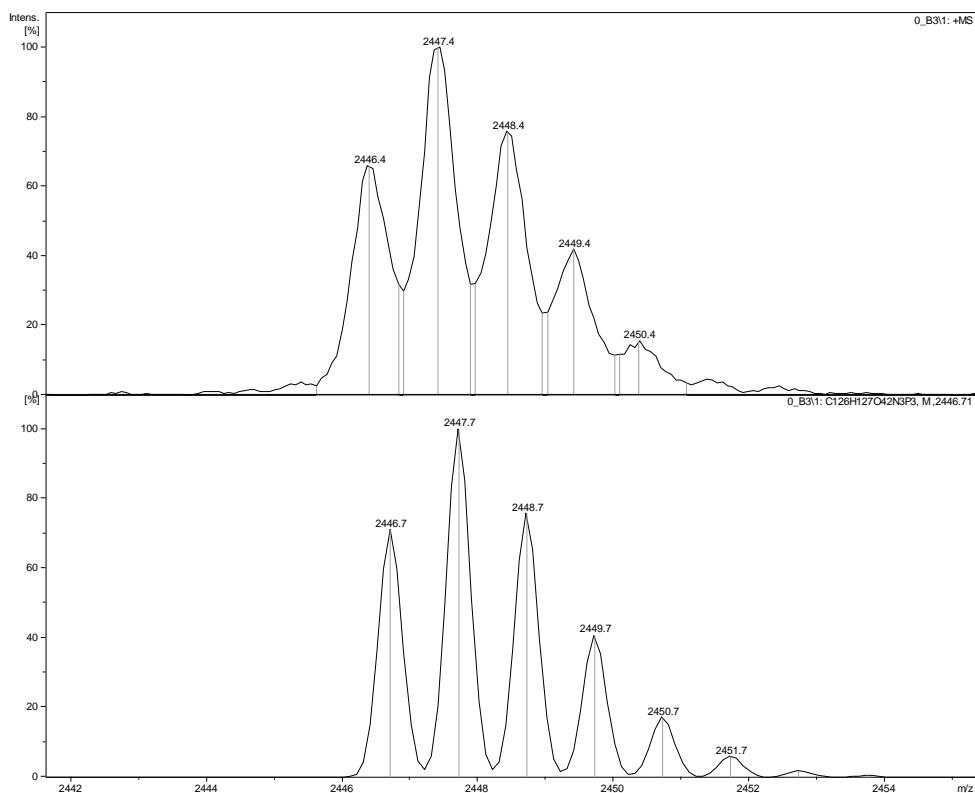


Espectro RMN de ^1H de **G1-(alquino)₁₂** en $(\text{CD}_3)_2\text{CO}$



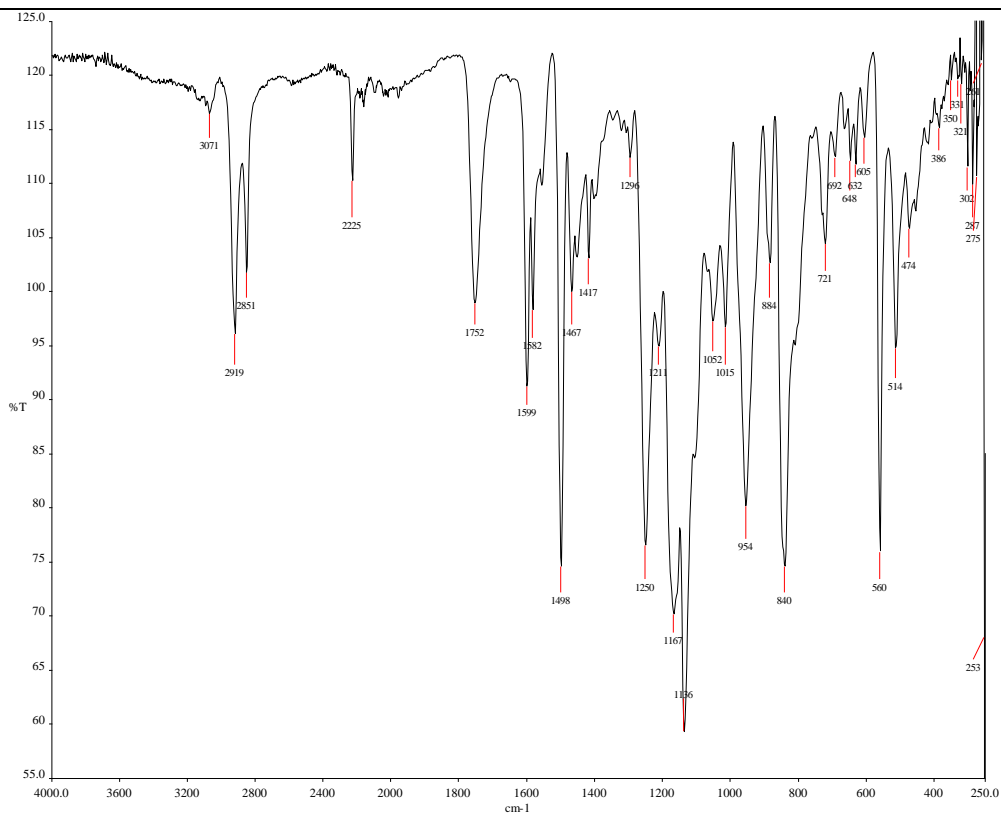
Espectro de masas MALDI+ de **G1-(alquino)₁₂**

V.II. Anexo 2: Espectros de los compuestos

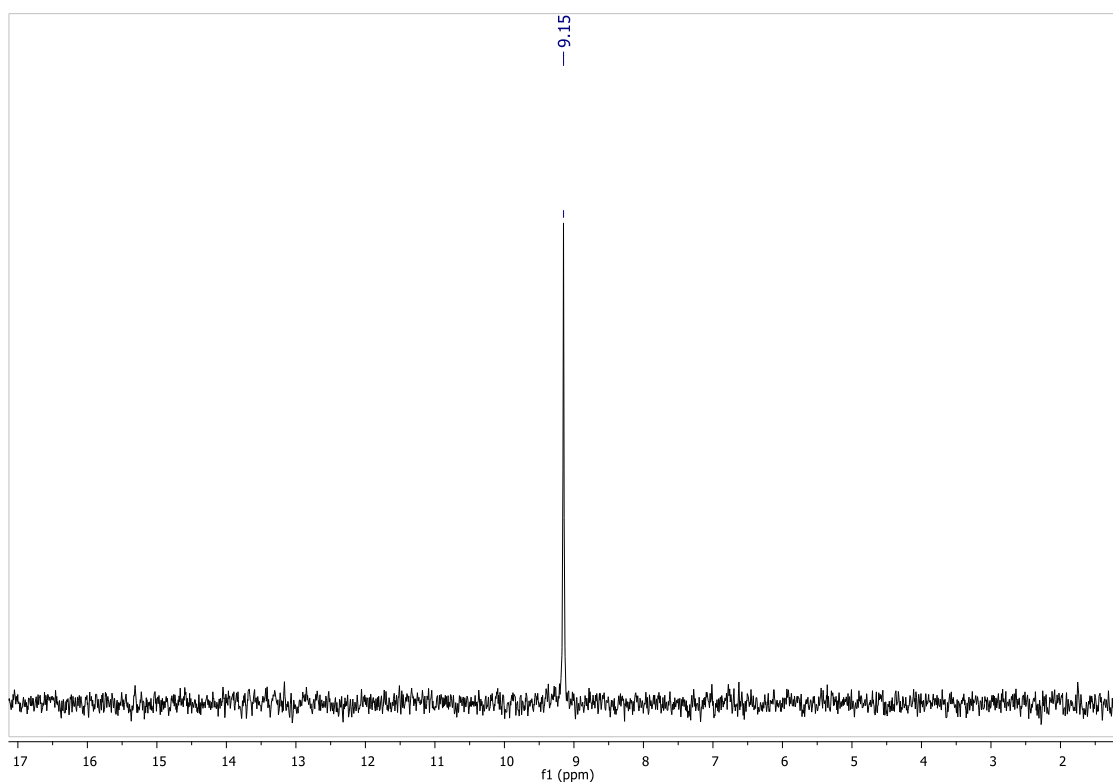


Espectro de masas MALDI+ de **G1-(alquino)₁₂**. Distribución isotópica experimental y teórica del ion $[M+H]^+$

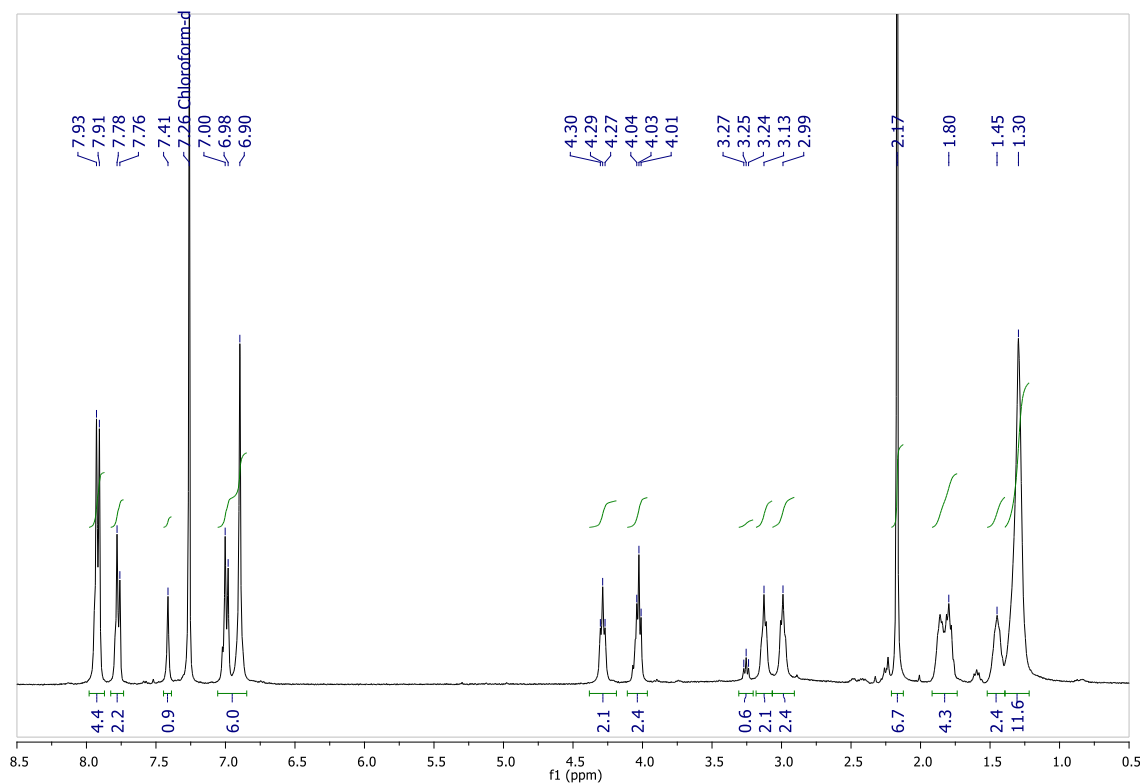
DATOS DEL DENDRÍMERO G0-(hidrófobo)₆



Espectro IR de **G0-(hidrófobo)₆**

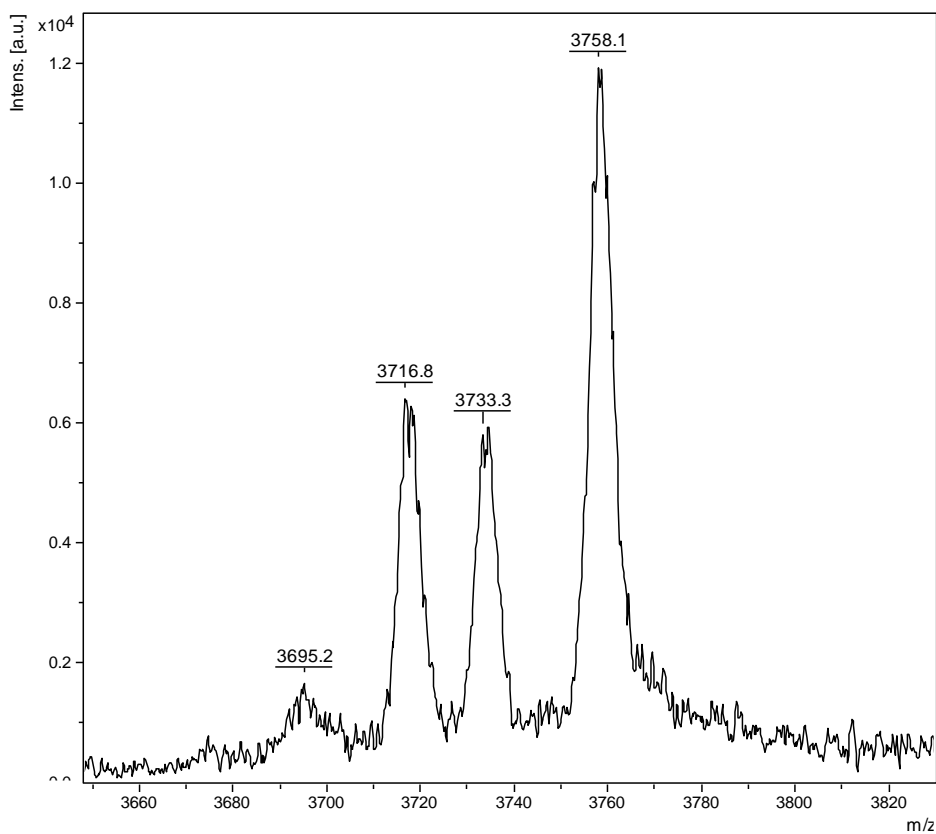


Espectro RMN de ³¹P{¹H} de G0-(hidrófobo)₆ en (CDCl₃)

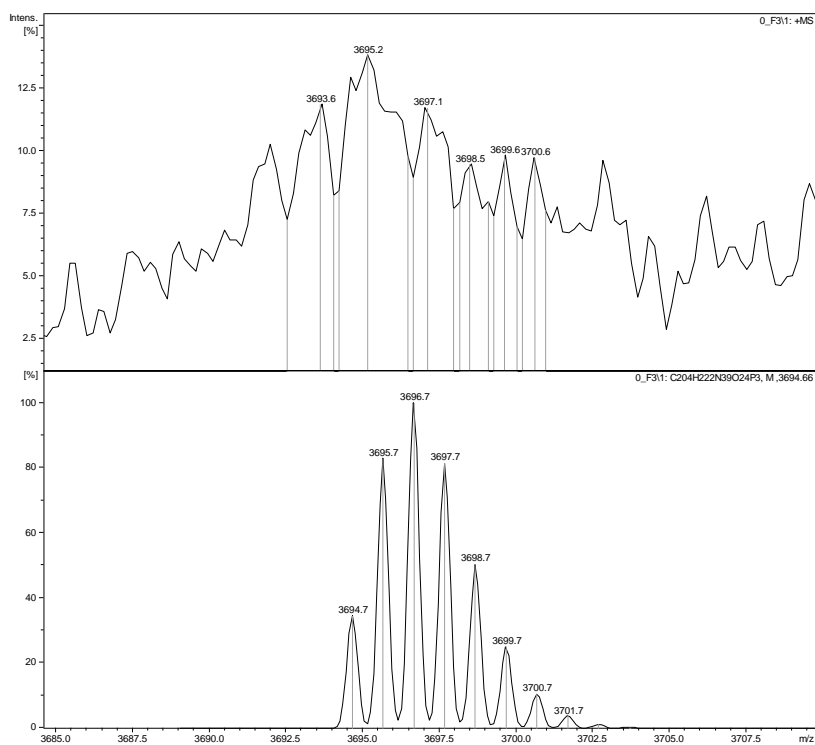


Espectro RMN de ¹H de G0-(hidrófobo)₆ en (CDCl₃)

V.II. Anexo 2: Espectros de los compuestos

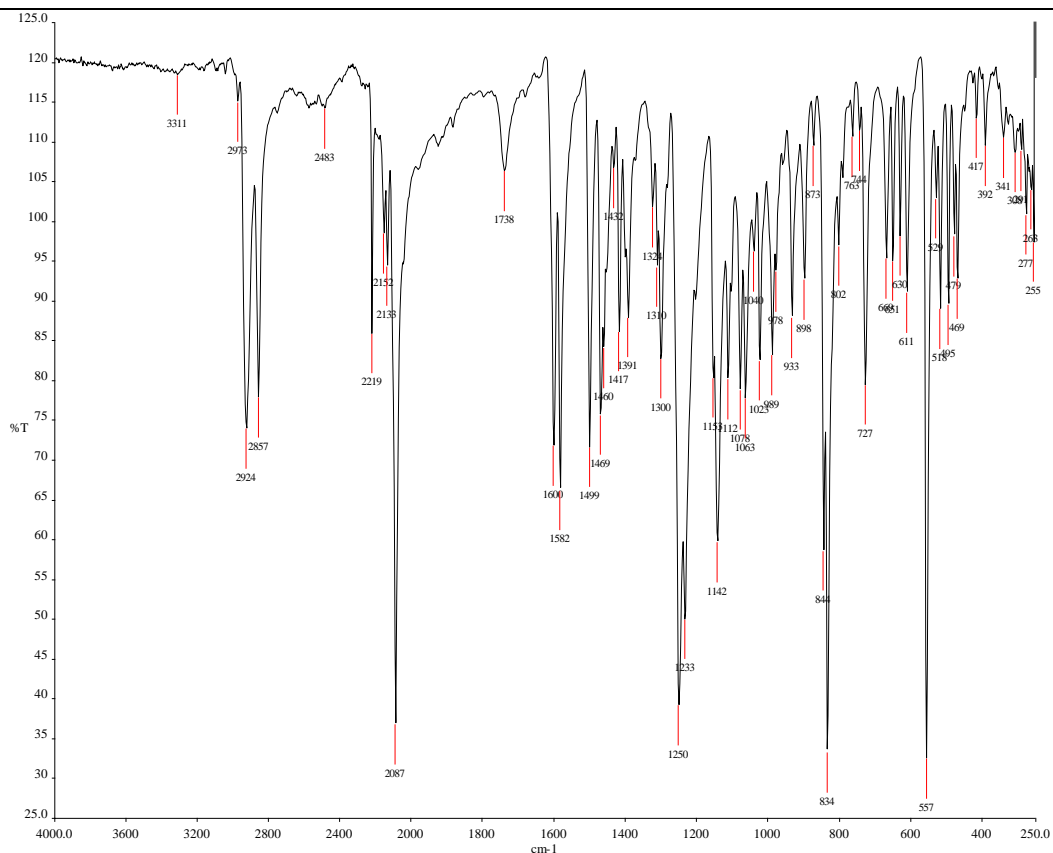


Espectro de masas MALDI+ de **G0-(hidrófobo)₆**

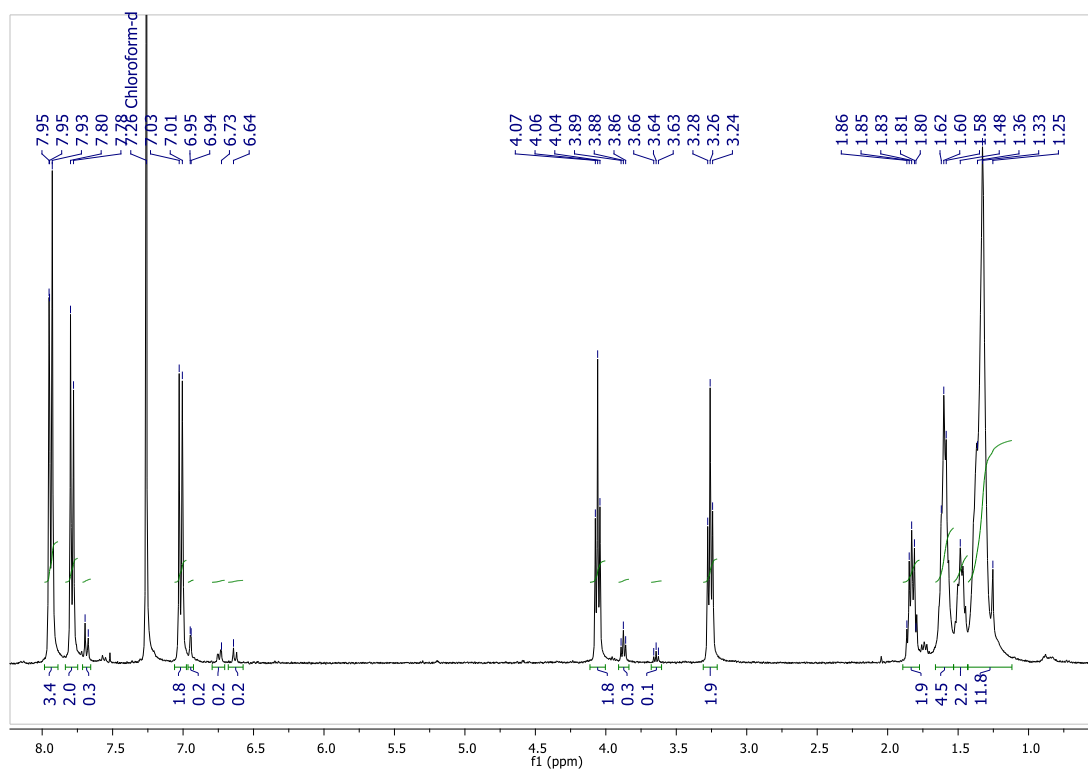


Espectro de masas MALDI+ de **G0-(hidrófobo)₆**. Distribución isotópica experimental y teórica del ion [M]⁺.

DATOS DE LA AZIDA HIDRÓFOBA

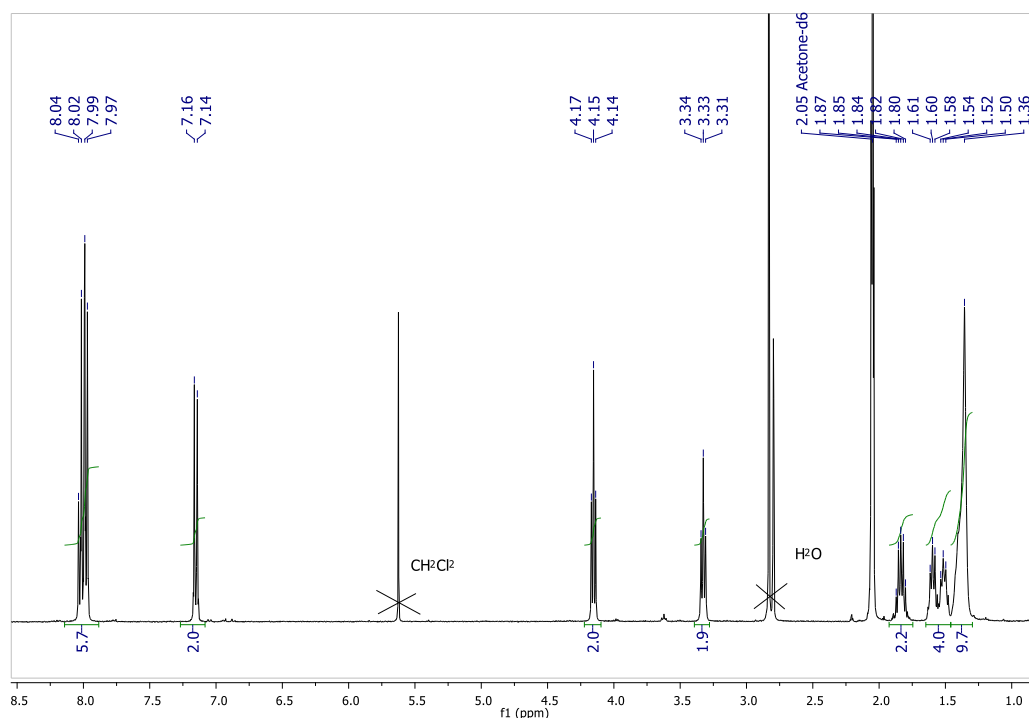


Espectro IR de azida hidrofoba



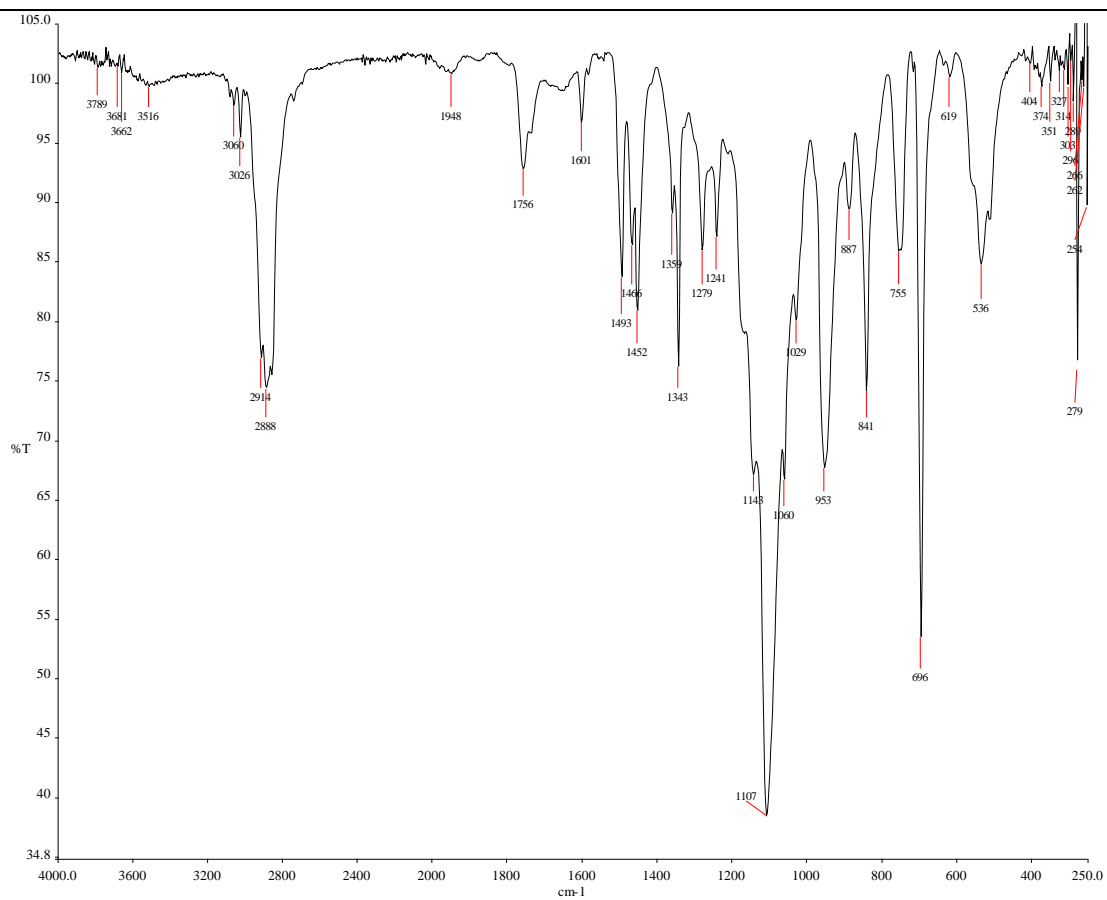
Espectro RMN de ^1H de azida hidrofoba en (CDCl_3)

V.II. Anexo 2: Espectros de los compuestos

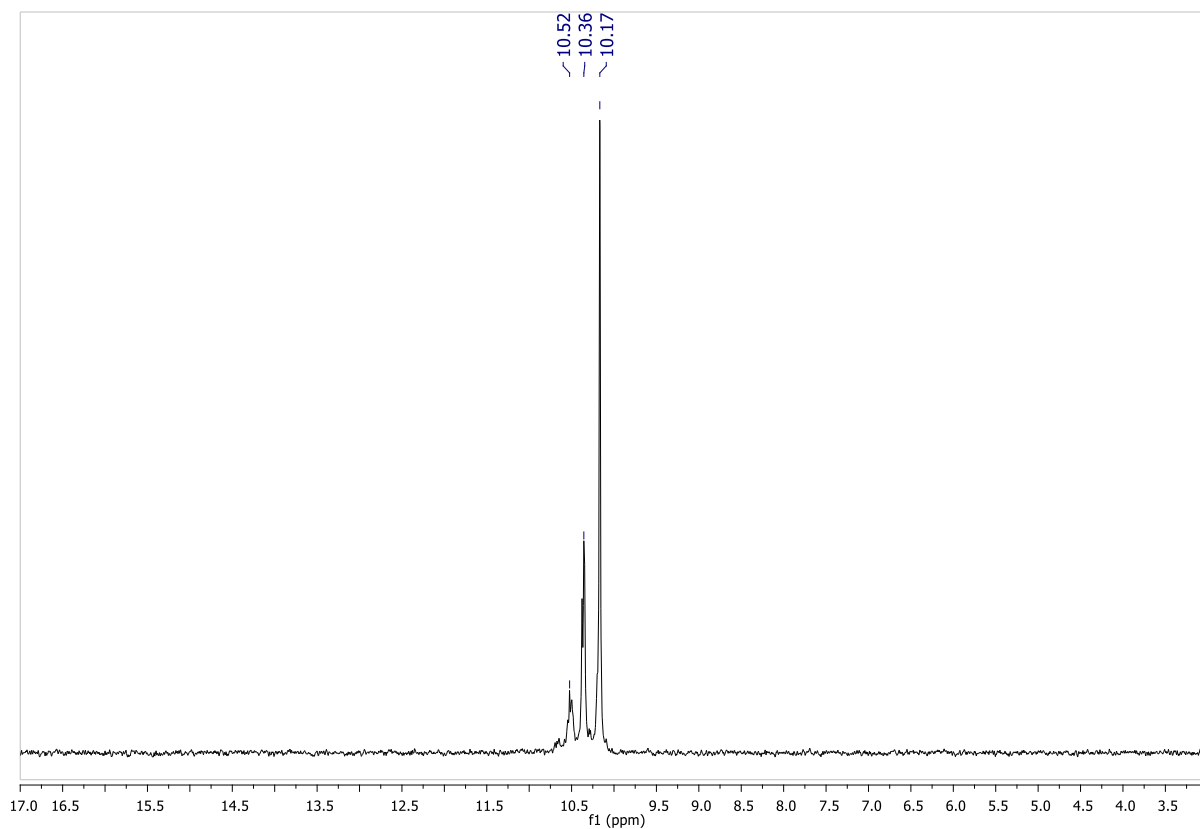


Espectro RMN de ^1H de azida hidrofoba en $(\text{CD}_3)_2\text{CO}$

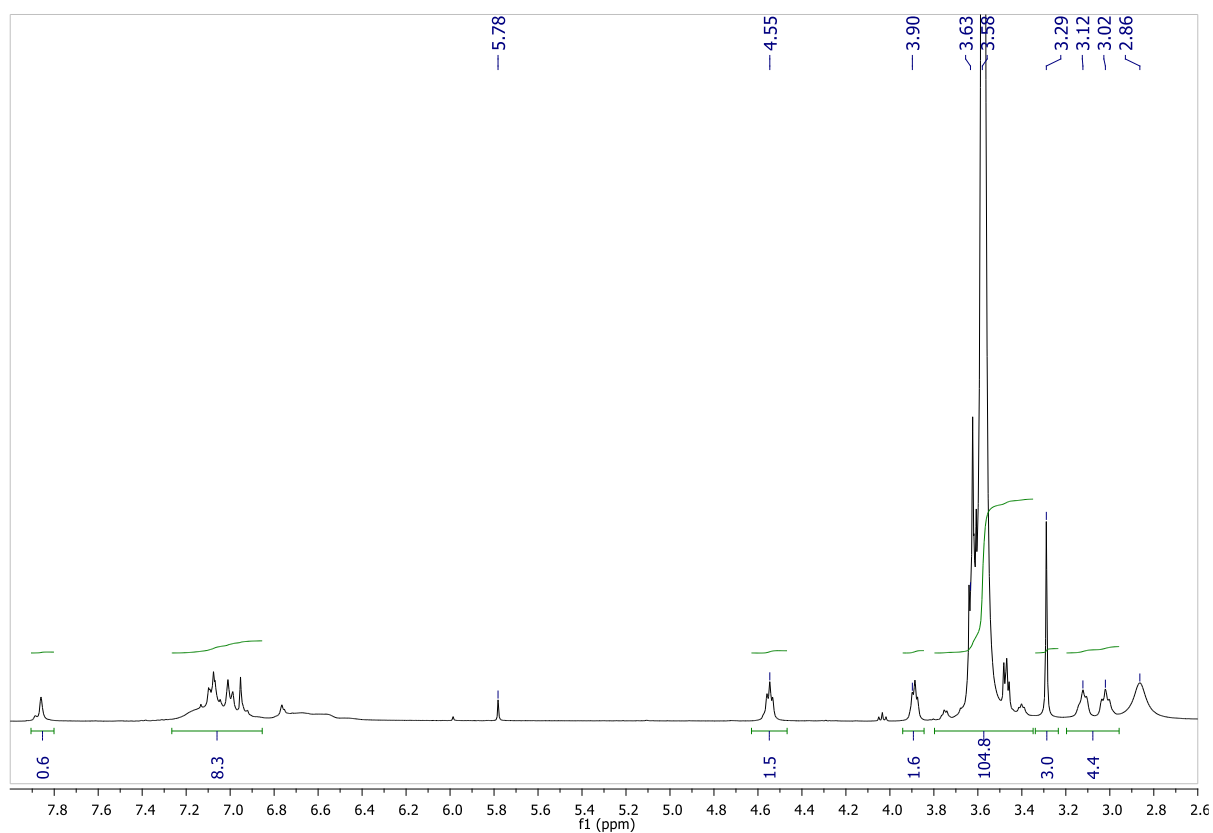
DATOS DEL DENDRÍMERO G0-(hidrófilo)₆



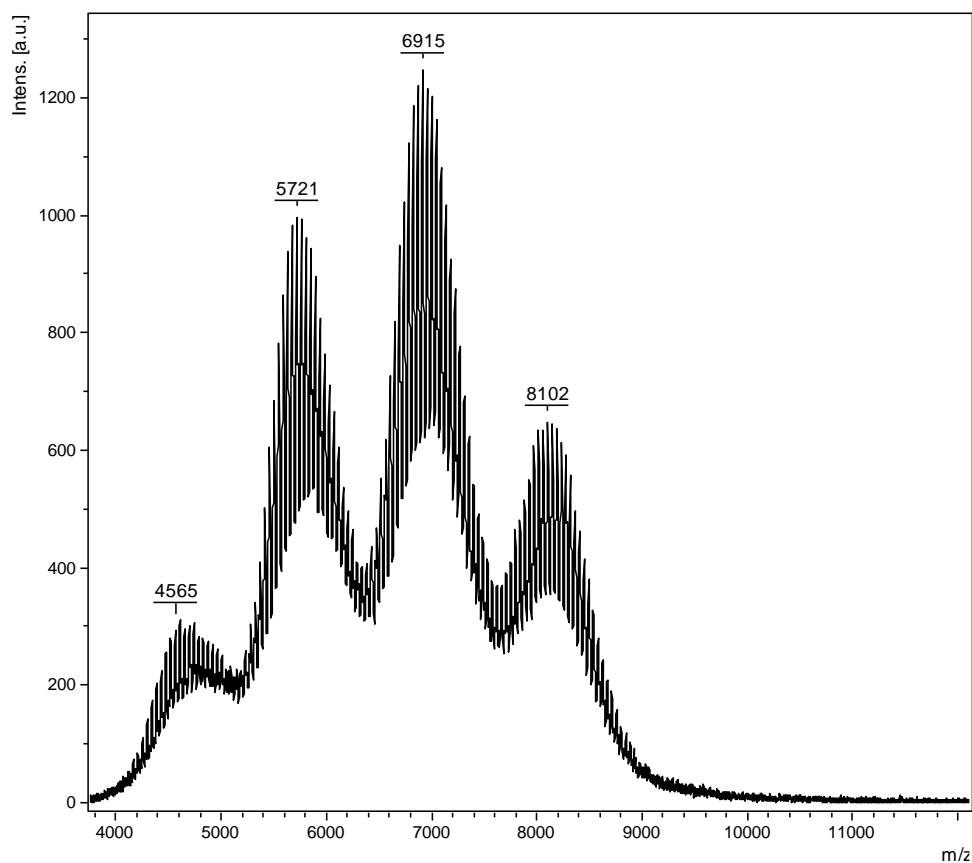
Espectro IR de G0-(hidrófilo)₆



Espectro RMN de ³¹P{¹H} de GO-(hidrófilo)₆ en (CD₃)₂CO

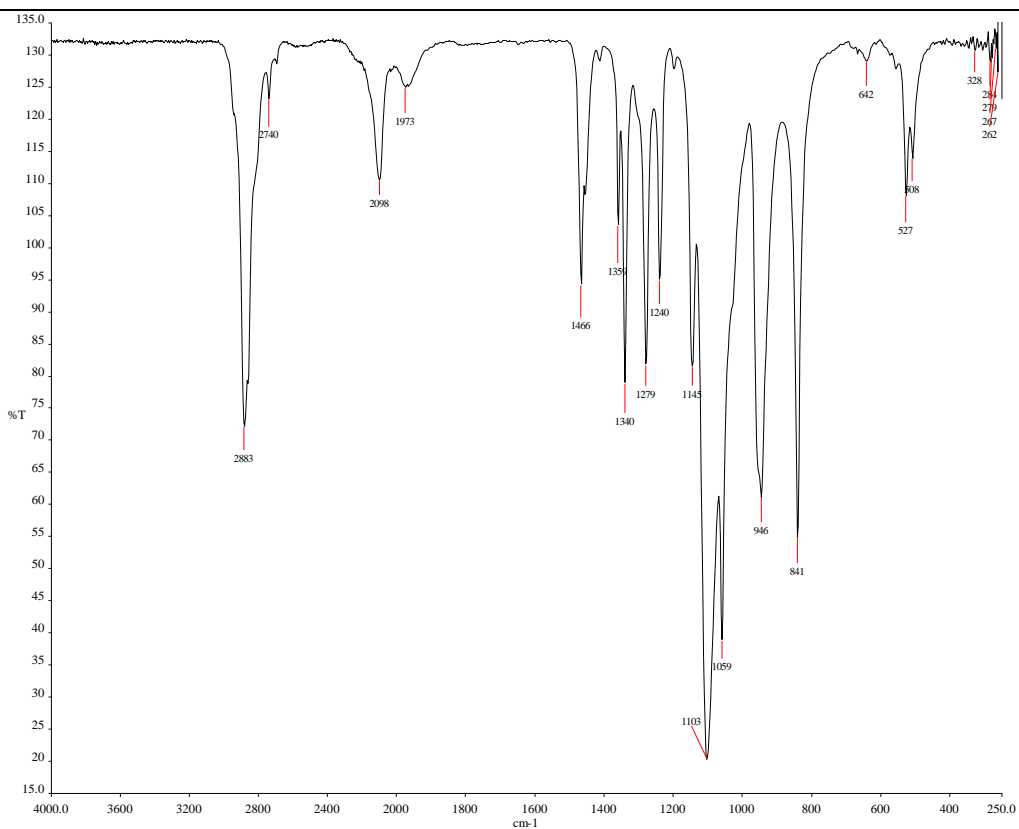


Espectro RMN de ¹H de GO-(hidrófilo)₆ en (CD₃)₂CO

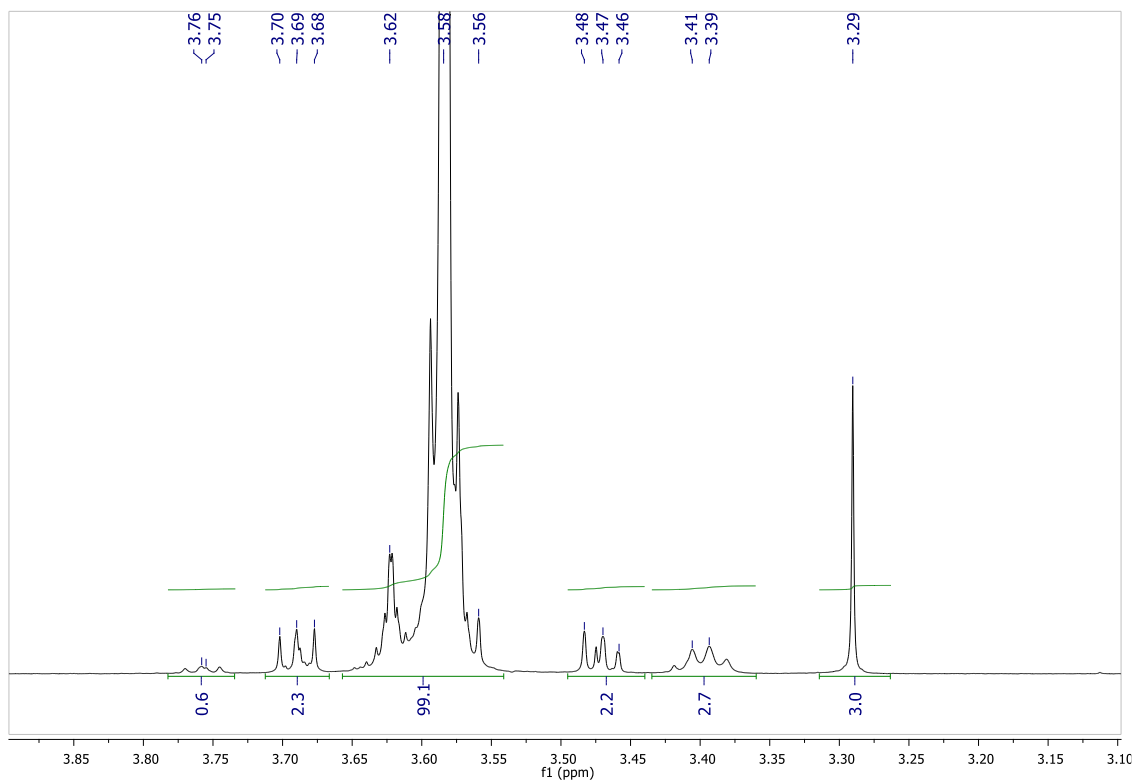


Espectro de masas MALDI+ de G0-(hidrófilo)₆

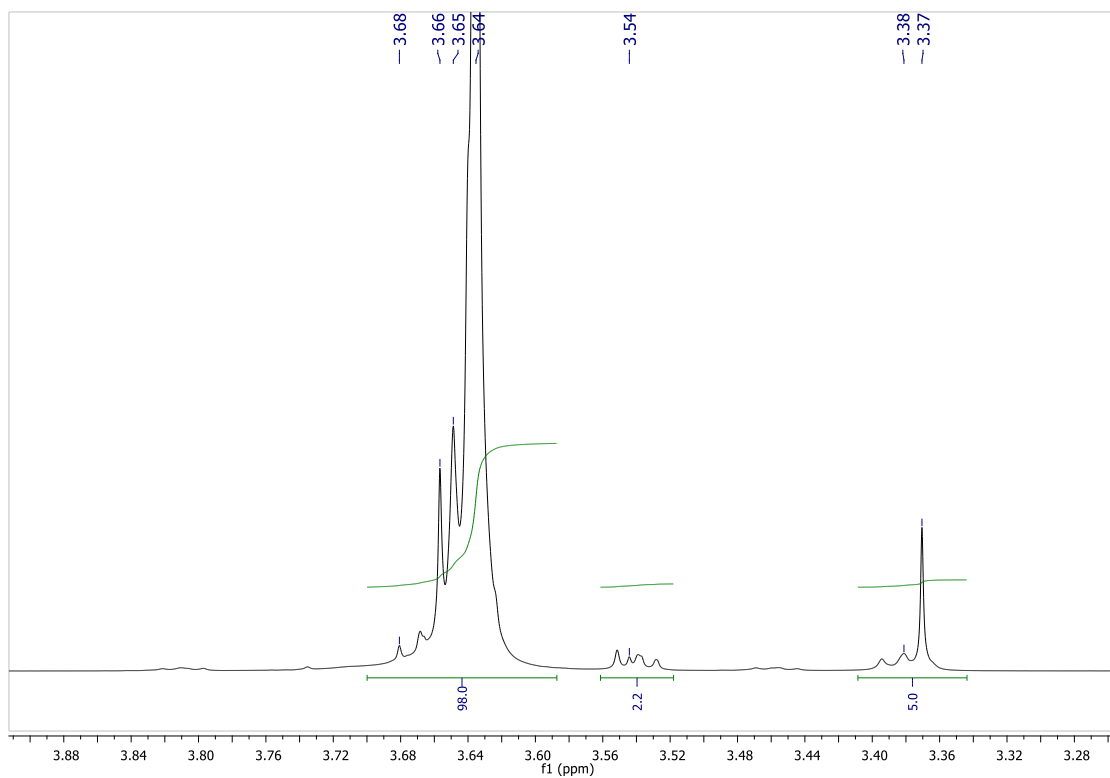
DATOS DE LA AZIDA HIDRÓFILA



Espectro IR de azida hidrófila

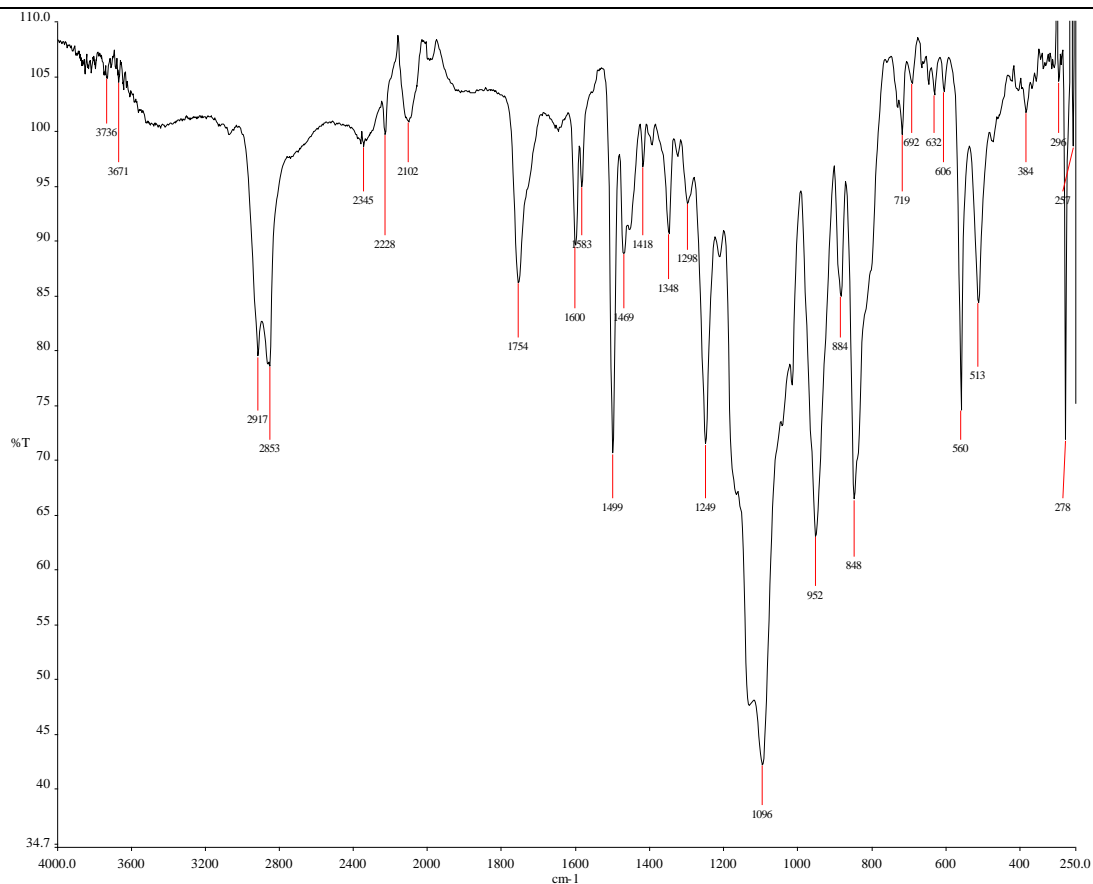


Espectro RMN de ^1H de azida hidrófila en $(\text{CD}_3)_2\text{CO}$

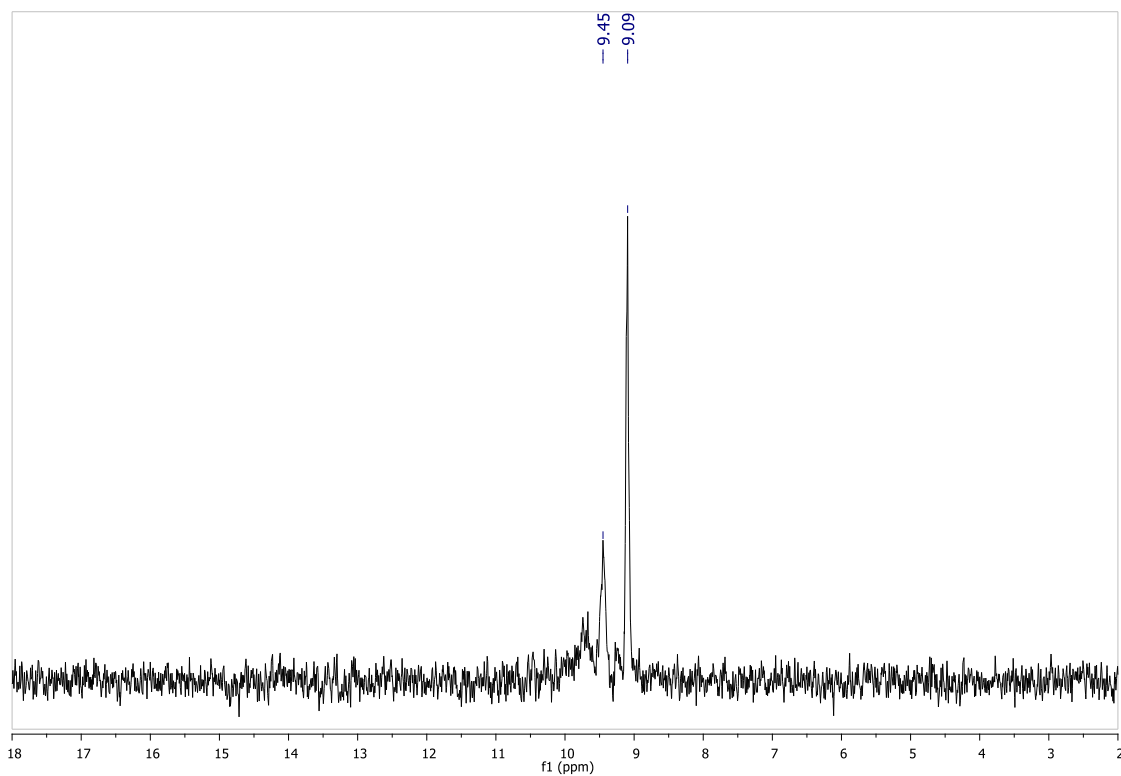


Espectro RMN de ^1H de azida hidrófila en CDCl_3

DATOS DEL DENDRÍMERO G0-(hidrófobo)₃(hidrófilo)₃ Método 1

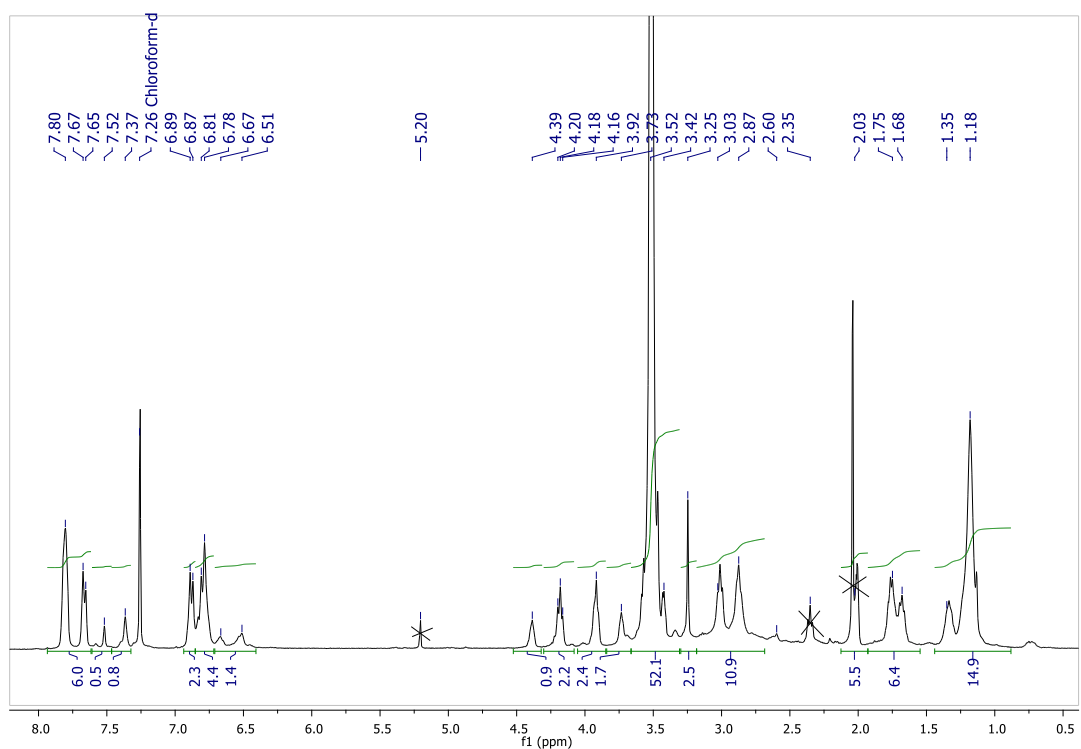


Espectro IR de G0-(hidrófobo)₃(hidrófilo)₃-1

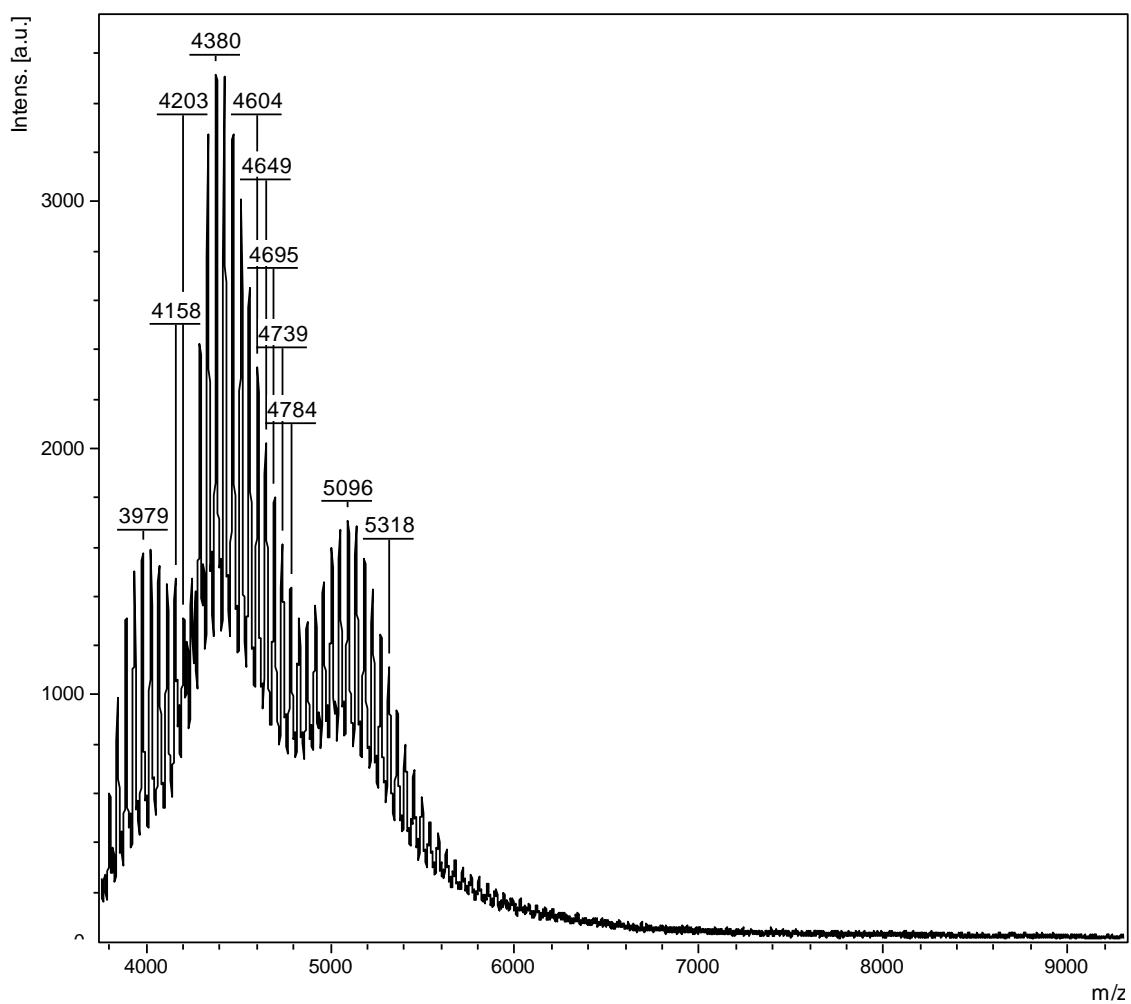


Espectro RMN de ³¹P{¹H} de G0-(hidrófobo)₃(hidrófilo)₃-1 en CDCl₃

V.II. Anexo 2: Espectros de los compuestos

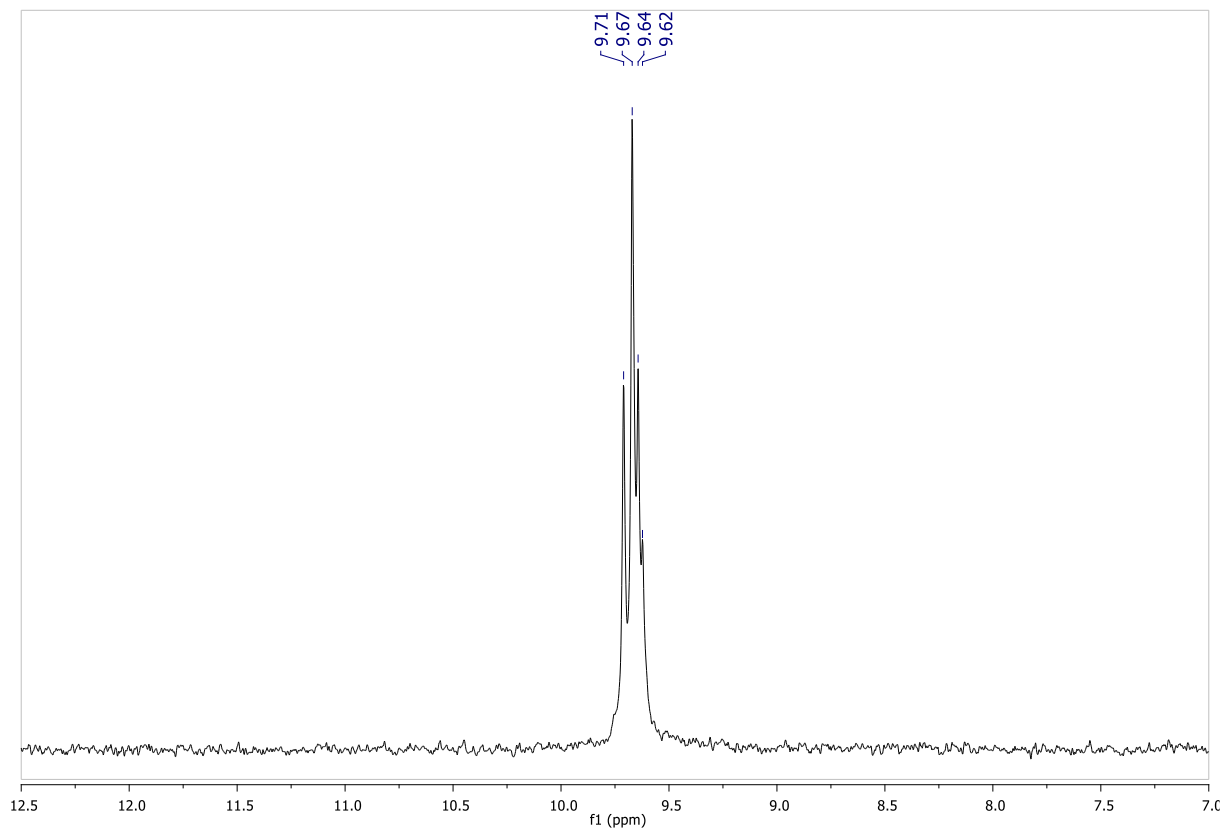


Espectro RMN de ^1H de $\text{GO}-(\text{hidrófobo})_3(\text{hidrófilo})_3-1$ en CDCl_3

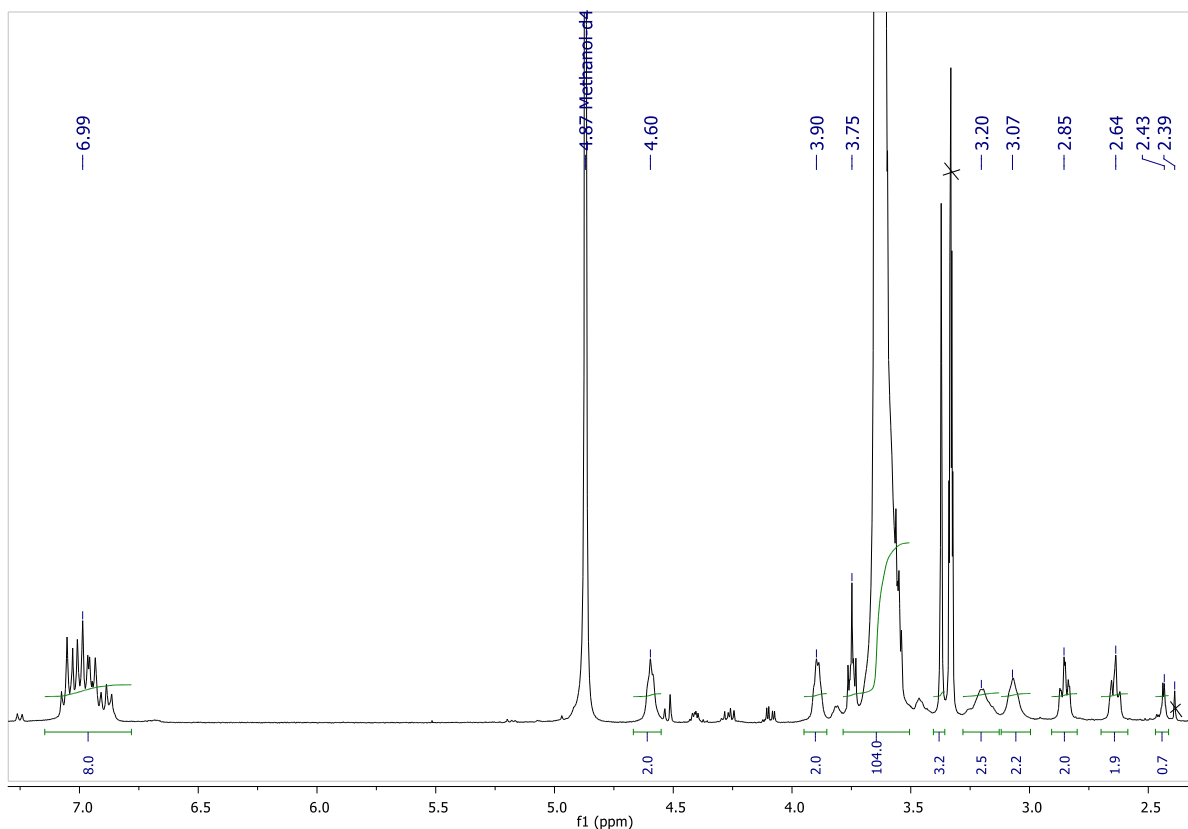


Espectro de masas MALDI+ de $\text{GO}-(\text{hidrófobo})_3(\text{hidrófilo})_3-1$

DATOS DEL DENDRÍMERO G0-(hidrófobo)₃(hidrófilo)₃ Método 2-

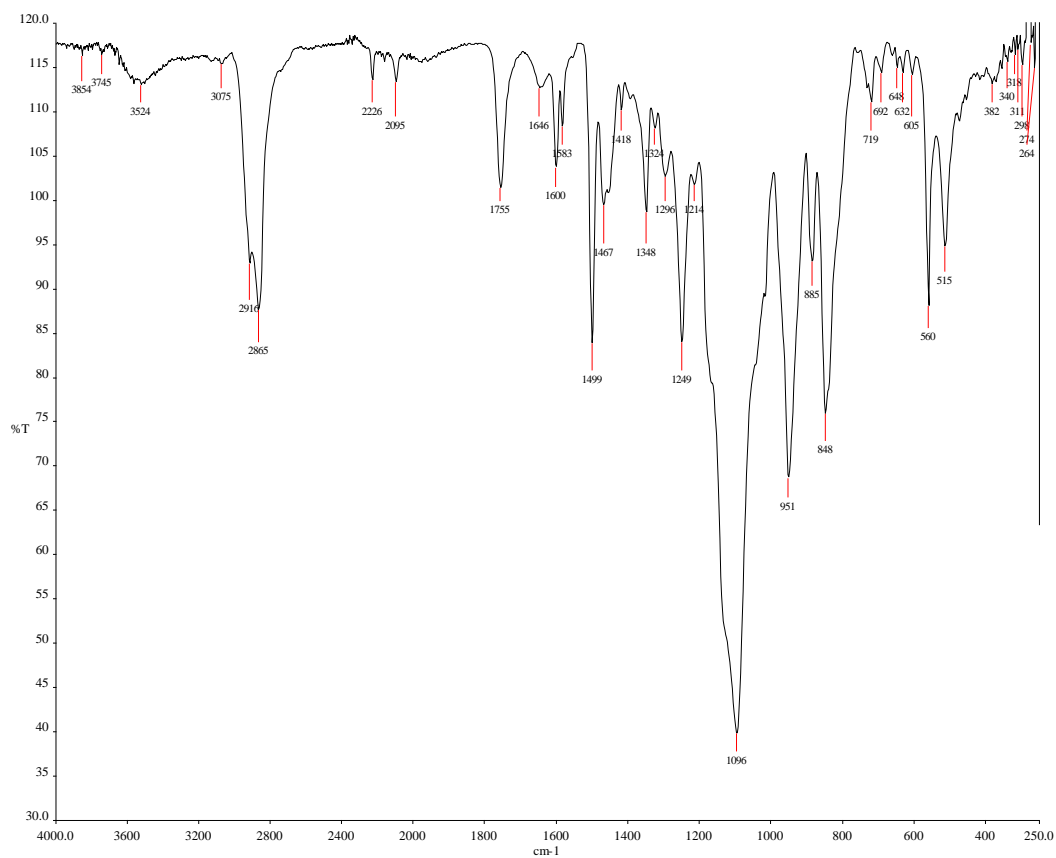


Espectro RMN de ³¹P{¹H} de G0-(hidrófobo)₆ + N₃-PEG₁₀₀₀ (método 2) en MeOD

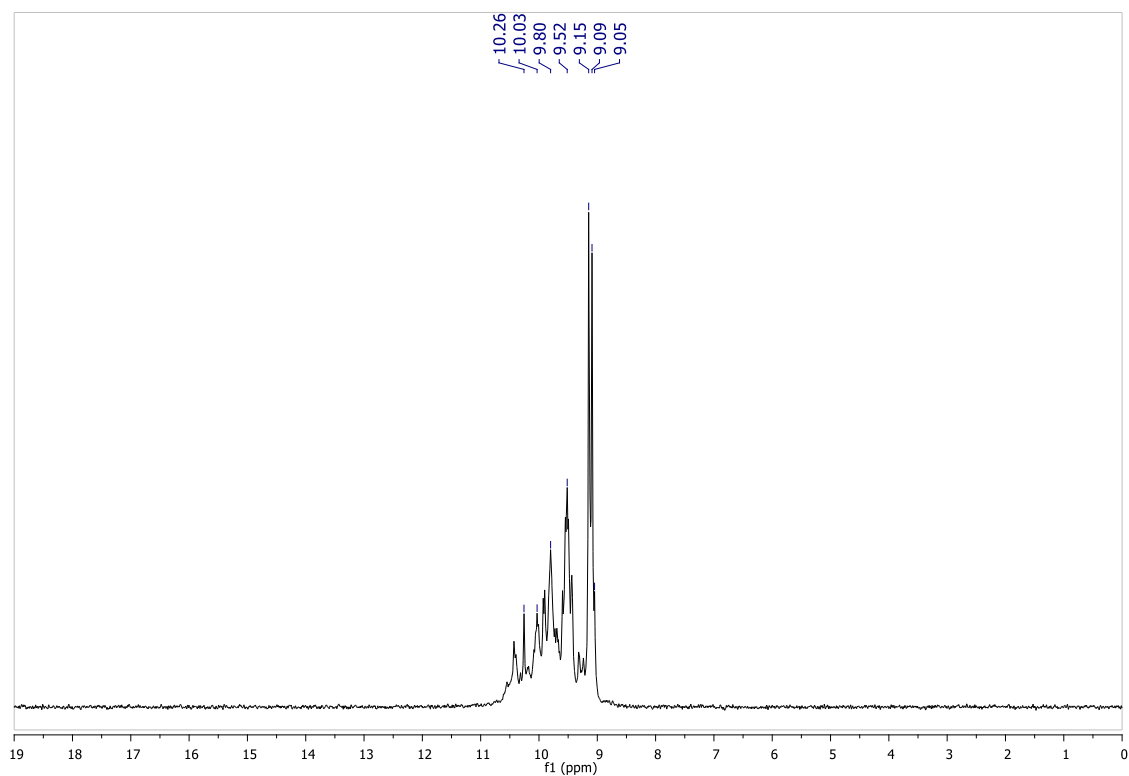


Espectro RMN de ¹H de G0-(hidrófobo)₆ + N₃-PEG₁₀₀₀ (método 2) en MeOD

V.II. Anexo 2: Espectros de los compuestos

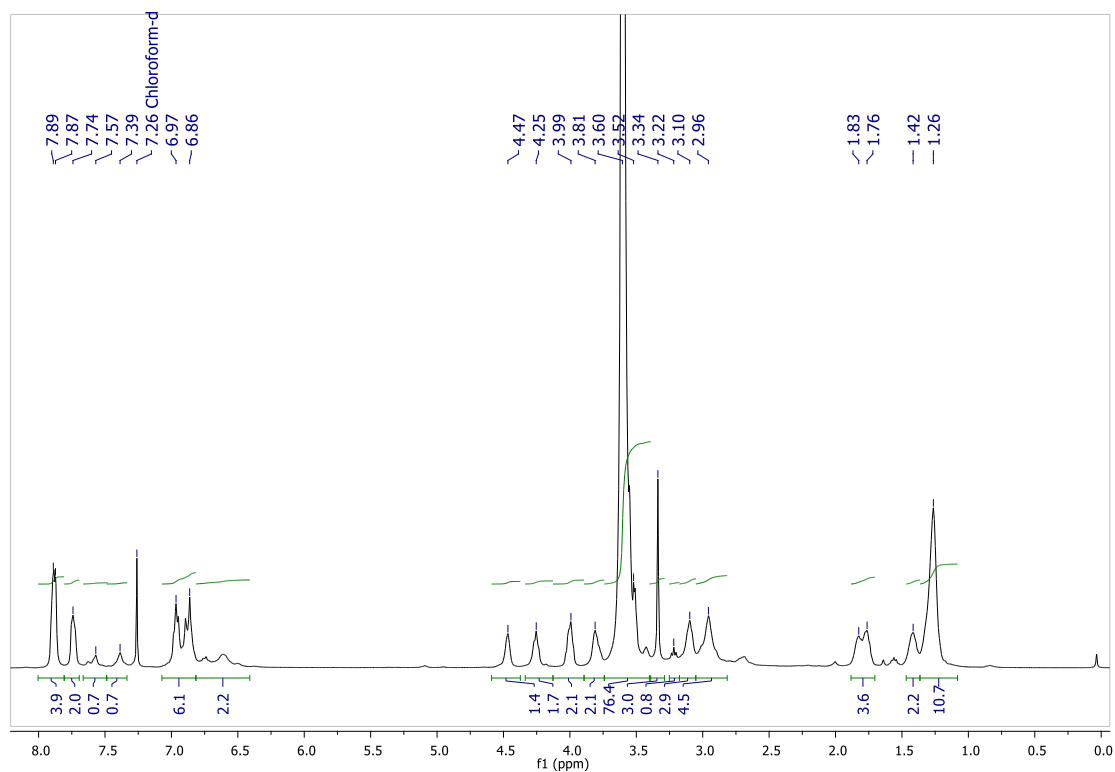


Espectro IR de **G0-(hidrófobo)₃(hidrófilo)₃-2**

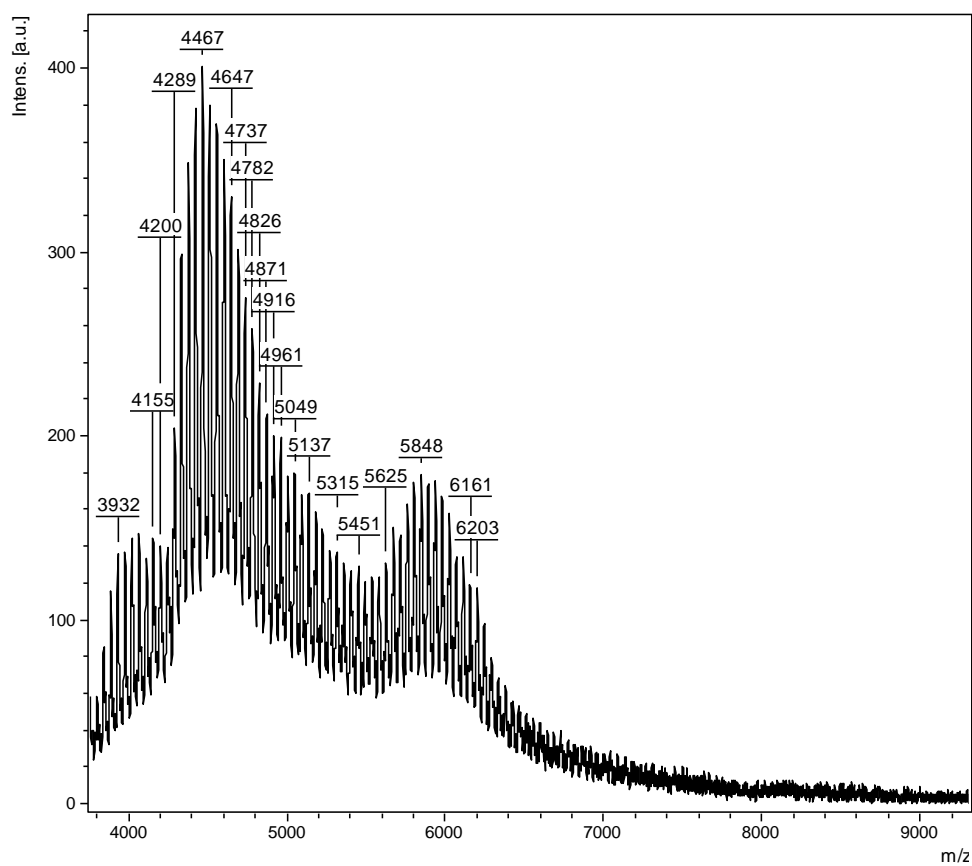


Espectro RMN de ³¹P{¹H} de **G0-(hidrófobo)₃(hidrófilo)₃-2** en CDCl₃

V.II. Anexo 2: Espectros de los compuestos



Espectro RMN de ^1H de $\text{G0-(hidrófobo)}_3(\text{hidrófilo})_3\text{-2}$ en CDCl_3



Espectro de masas MALDI+ de $\text{G0-(hidrófobo)}_3(\text{hidrófilo})_3\text{-2}$